



TOMOGRAPHIE MEDICALE

- ① IMAGERIE DE PROJECTION ET EN COUPES
- ② TOMOGRAPHIE = PROBLEME LINEAIRE INVERSE MAL CONDITIONNE
- ③ ALGORITHMES DE RECONSTRUCTION ANALYTIQUES ET ALGEBRIQUES
- ④ SPECIFICITES EN TEP 3D
- ⑤ UN EXEMPLE DE TRAVAUX EN COURS SUR LE SUJET...

Nb: Les corrections des artefacts d'acquisition ne seront pas abordées.

Denis Mariano-Goulart, <http://scinti.edu.umontpellier.fr>



= formalisme ou concepts sortant du programme du DFGSM



= notions d'un niveau 3^e cycle ou recherches en cours

PROJECTION

MODELISATION

CONDITIONNEMENT

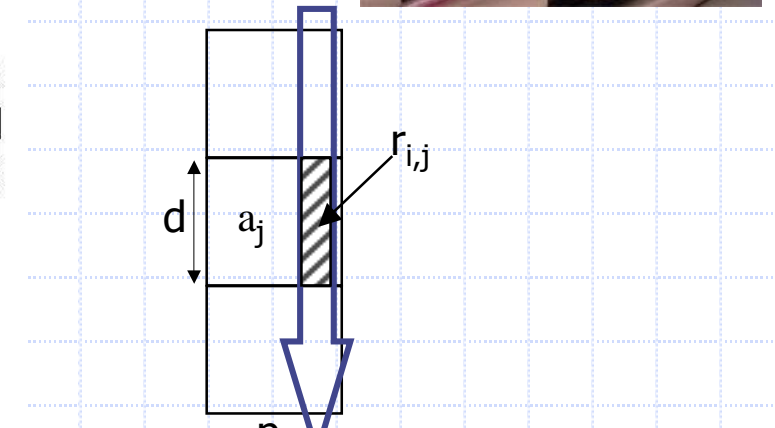
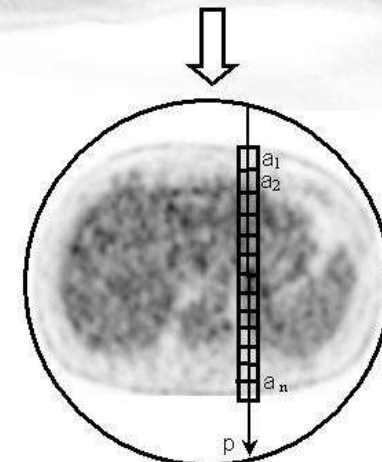
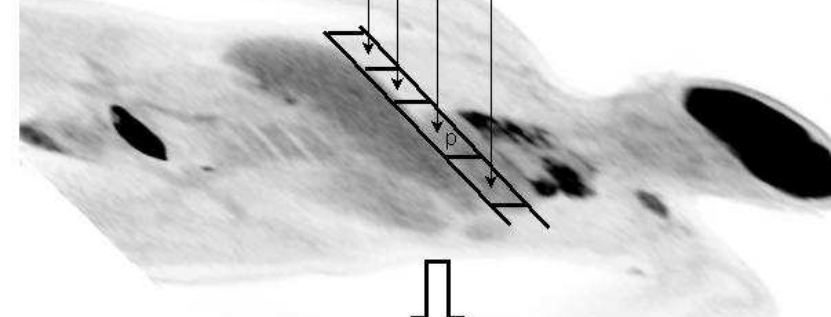
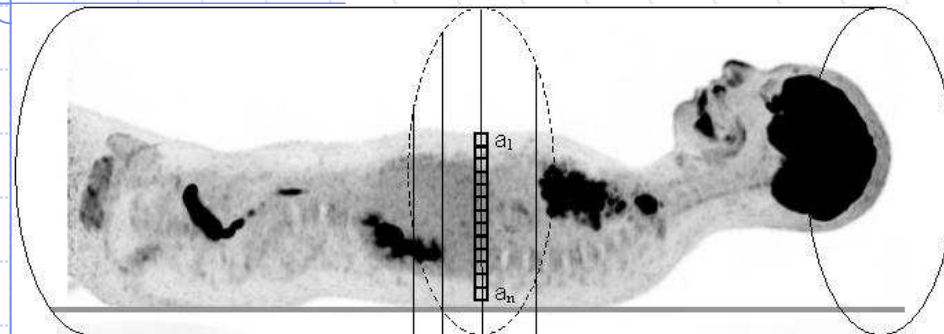
RECONSTRUCTION

REGULARISATION

TFP

PROGRES

PROJECTION EN TE(M)P



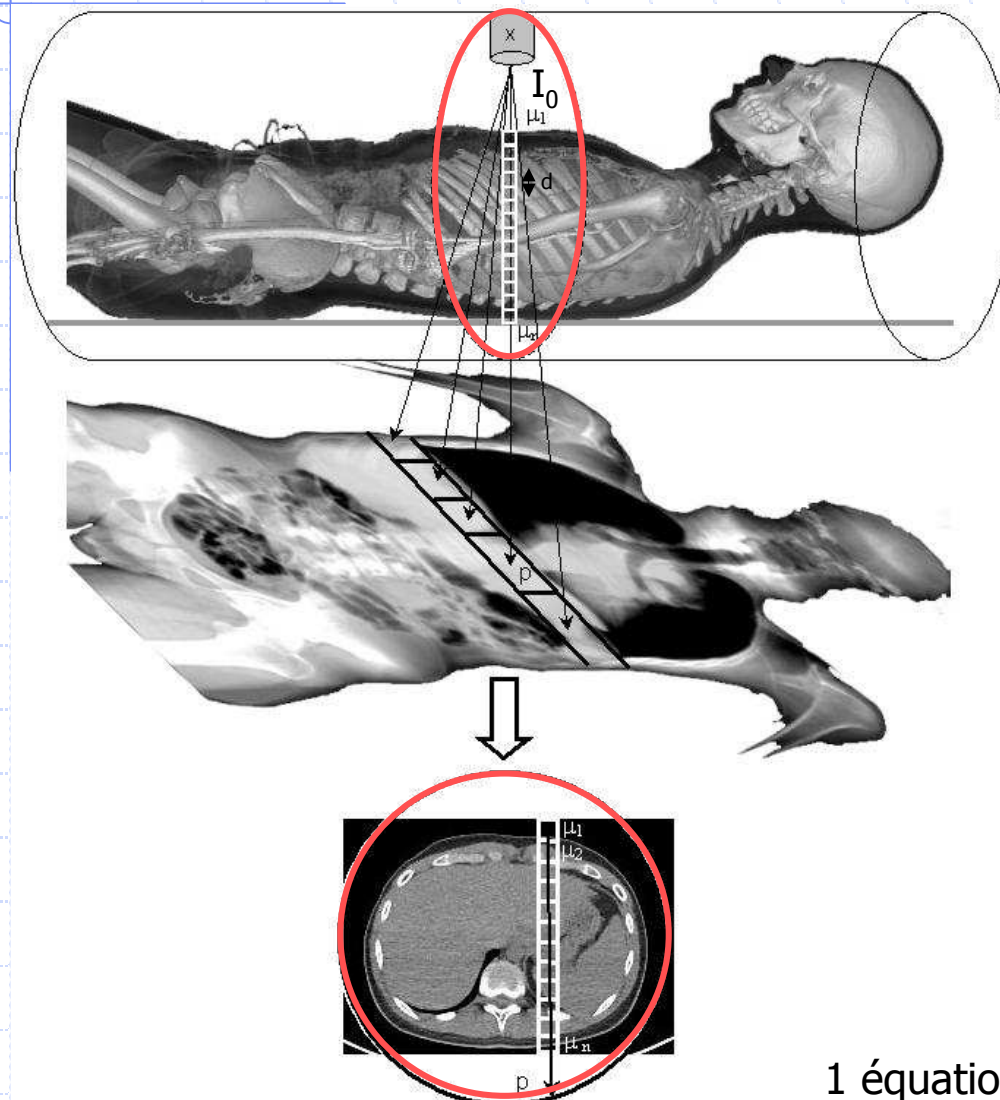
$$p_i = \sum_j r_{i,j} \cdot a_j$$

$$p_i = r_{i,1} \cdot a_1 + r_{i,2} \cdot a_2 + \dots + r_{i,n} \cdot a_n$$

1 équation à n inconnues



PROJECTION EN TDM



$$\mu_j = -\frac{1}{d} \frac{dI}{I}$$

$r_{i,j} = 0.25$ ici

$$I_i = I_0 \cdot e^{-\sum_j r_{i,j} \cdot (\mu_j \cdot d)}$$

$$-\frac{1}{d} \ln \frac{I_i}{I_0} = p_i = \sum_j r_{i,j} \cdot \mu_j$$

$$p_i = r_{i,1} \cdot \mu_1 + r_{i,2} \cdot \mu_2 + \dots + r_{i,n} \cdot \mu_n$$

1 équation à n inconnues $\Rightarrow P > n$ projections

MODELISATION ALGEBRIQUE

$P = 4$

f_1	f_2
f_3	f_4

$$p_1 = r_{1,1} f_1 + r_{1,2} f_2$$

$$p_2 = r_{2,3} f_3 + r_{2,4} f_4$$

$$p_3 = r_{3,1} f_1 + r_{3,3} f_3$$

$$p_4 = r_{4,2} f_2 + r_{4,4} f_4$$

$$\begin{pmatrix} r_{1,1} & r_{1,2} & r_{1,3} & r_{1,4} \\ r_{2,1} & r_{2,2} & r_{2,3} & r_{2,4} \\ r_{3,1} & r_{3,2} & r_{3,3} & r_{3,4} \\ r_{4,1} & r_{4,2} & r_{4,3} & r_{4,4} \end{pmatrix} \cdot \begin{pmatrix} f_1 \\ f_2 \\ f_3 \\ f_4 \end{pmatrix} = \begin{pmatrix} p_1 \\ p_2 \\ p_3 \\ p_4 \end{pmatrix}$$

PROJECTION :

$$R \vec{f} = \vec{p}$$

$b_1 = r_{1,1} p_1 + r_{3,1} p_3$	$b_2 = r_{1,2} p_1 + r_{4,2} p_4$
$b_3 = r_{2,3} p_2 + r_{3,3} p_3$	$b_4 = r_{2,4} p_2 + r_{4,4} p_4$

$\uparrow p_3$

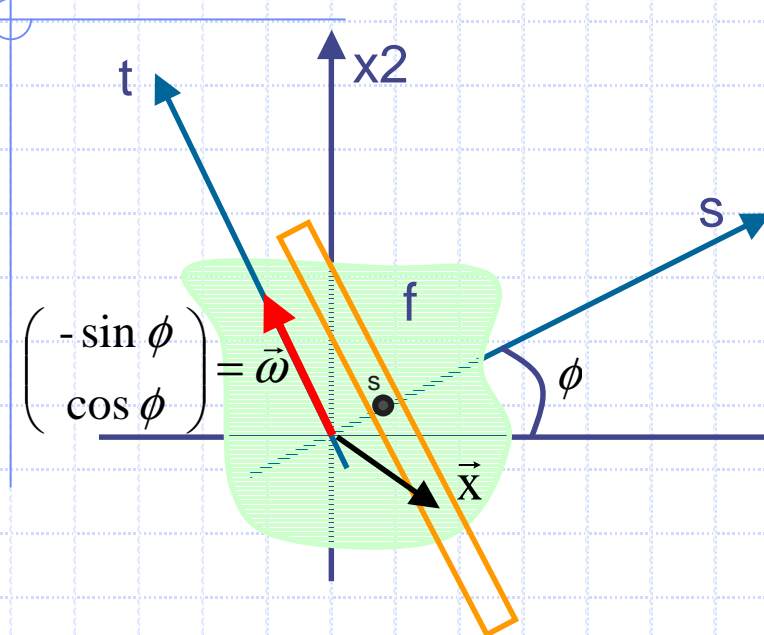
$\uparrow p_4$

$$\begin{pmatrix} r_{1,1} & r_{2,1} & r_{3,1} & r_{4,1} \\ r_{1,2} & r_{2,2} & r_{3,2} & r_{4,2} \\ r_{1,3} & r_{2,3} & r_{3,3} & r_{4,3} \\ r_{1,4} & r_{2,4} & r_{3,4} & r_{4,4} \end{pmatrix} \cdot \begin{pmatrix} p_1 \\ p_2 \\ p_3 \\ p_4 \end{pmatrix} = \begin{pmatrix} b_1 \\ b_2 \\ b_3 \\ b_4 \end{pmatrix}$$

RETROPROJECTION :

$${}^t R \vec{p} = \vec{b}$$

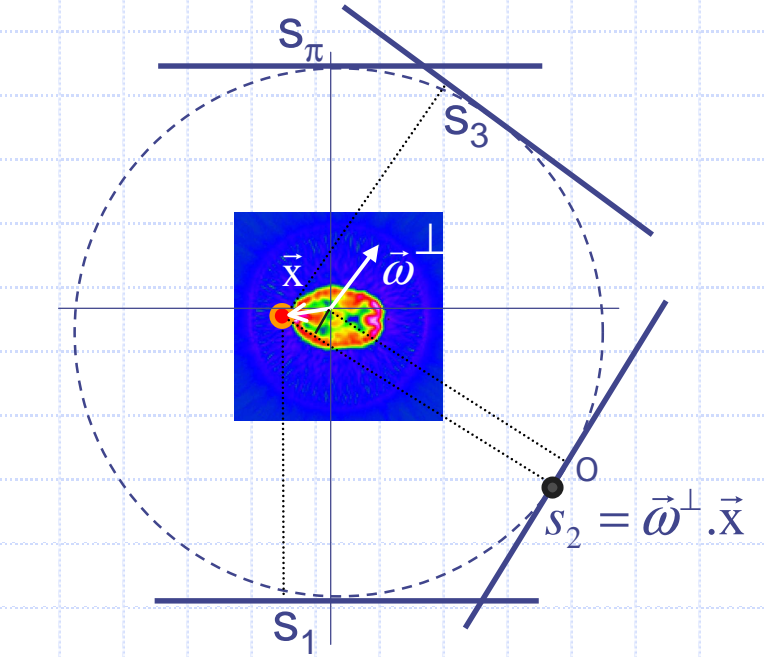
MODELISATION ANALYTIQUE



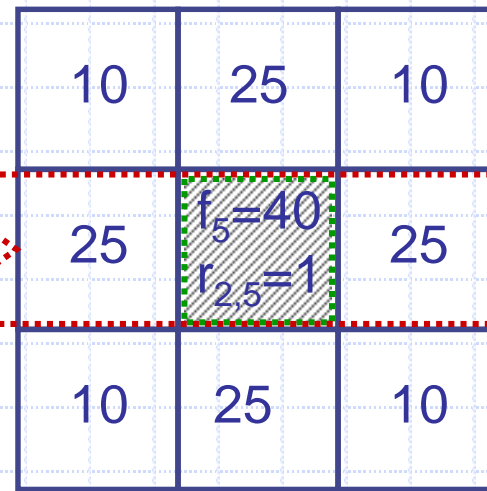
$p = Rf$ transformée de Radon

$$({}^t R p)(\vec{x}) = \int_{\phi=0}^{\pi} p_{\vec{\omega}}(\vec{\omega}^\perp \cdot \vec{x}) d\phi$$

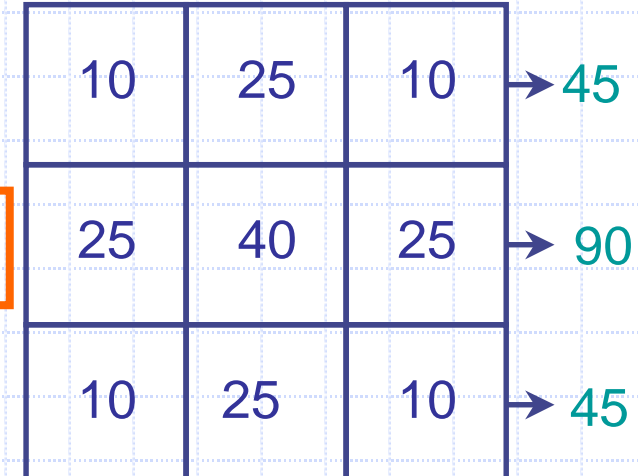
rétroprojection = épandage



PRO/RETROPROJECTION

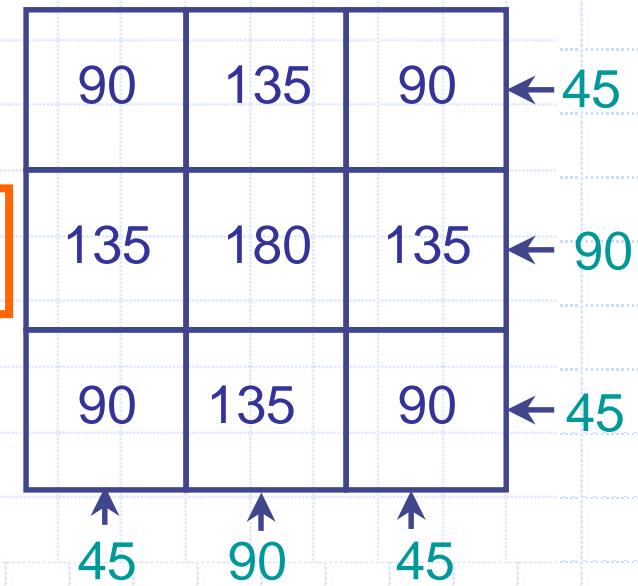


$$\vec{R} \cdot \vec{f} = \vec{p}$$



p_i

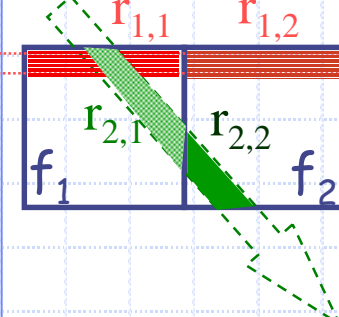
$${}^t \vec{R} \cdot \vec{p} = \vec{b}$$



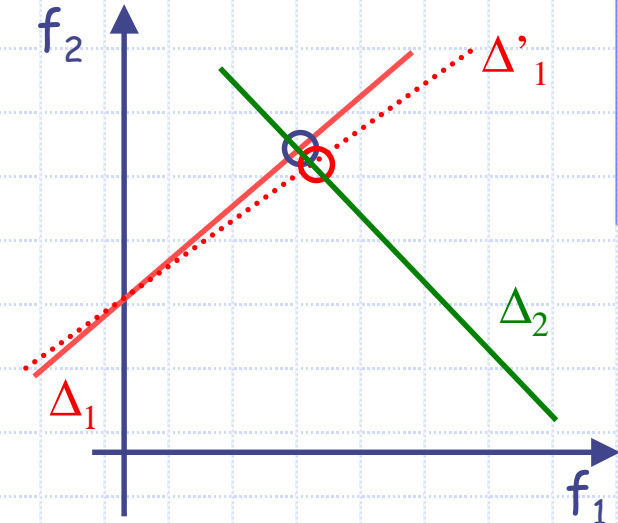
Hypothèse:

$r_{i,j}=1$ si le pixel j se projette dans la raie i ; $r_{i,j}=0$ sinon.

Pb INVERSE LINEAIRE

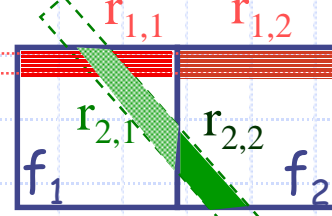


$$\left\{ \begin{array}{l} \Delta_1 : p_1 = r_{1,1} f_1 + r_{1,2} f_2 \\ \Delta_2 : p_2 = r_{2,1} f_1 + r_{2,2} f_2 \end{array} \right.$$

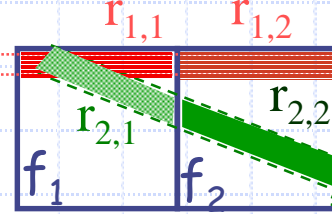
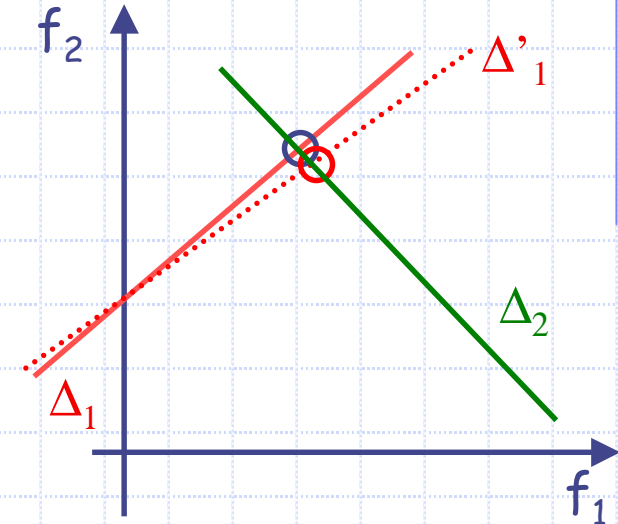


Reconstruire une coupe
=
Résoudre un système linéaire
de n^2 équations ($p_i = \dots$)
et n^2 inconnues (f_j)

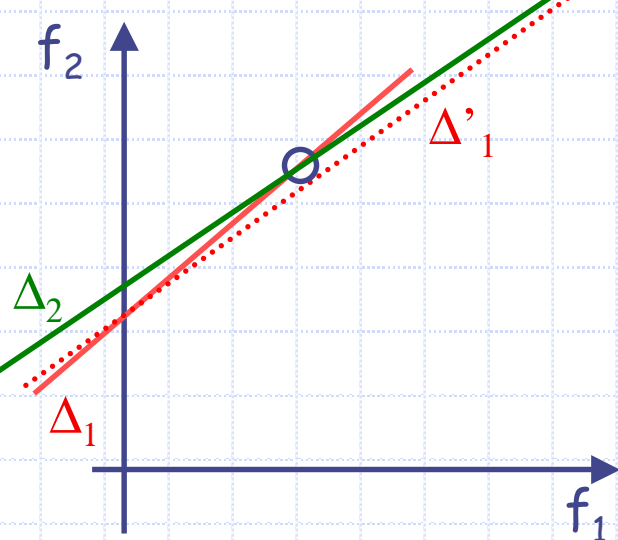
Pb INVERSE LINEAIRE MAL CONDITIONNE



$$\left\{ \begin{array}{l} \Delta_1 : p_1 = r_{1,1} f_1 + r_{1,2} f_2 \\ \Delta_2 : p_2 = r_{2,1} f_1 + r_{2,2} f_2 \end{array} \right.$$



$$\left\{ \begin{array}{l} \Delta_1 : p_1 = r_{1,1} f_1 + r_{1,2} f_2 \\ \Delta_2 : p_2 = r_{2,1} f_1 + r_{2,2} f_2 \end{array} \right.$$



PROJECTION

MODELISATION

CONDITIONNEMENT

RECONSTRUCTION

REGULARISATION

TEP

PROGRES

CONDITIONNEMENT

$$\begin{pmatrix} 10 & 7 & 8 & 7 \\ 7 & 5 & 6 & 5 \\ 8 & 6 & 10 & 9 \\ 7 & 5 & 9 & 10 \end{pmatrix} \begin{pmatrix} 9,2 \\ -12,6 \\ 4,5 \\ -1,1 \end{pmatrix} = \begin{pmatrix} 32,1 \\ 22,9 \\ 33,1 \\ 30,9 \end{pmatrix}$$

$$R \begin{pmatrix} 1 \\ 1 \\ 1 \\ 1 \end{pmatrix} = \begin{pmatrix} 10 & 7 & 8 & 7 \\ 7 & 5 & 6 & 5 \\ 8 & 6 & 10 & 9 \\ 7 & 5 & 9 & 10 \end{pmatrix} \begin{pmatrix} 1 \\ 1 \\ 1 \\ 1 \end{pmatrix} = \begin{pmatrix} 32 \\ 23 \\ 33 \\ 31 \end{pmatrix}$$

coupe projections

$$\begin{pmatrix} 10 & 7 & 8 & 7 \\ 7 & 5 & 6 & 5 \\ 8 & 6 & 10 & 9 \\ 7 & 5 & 9 & 10 \end{pmatrix} \begin{pmatrix} -7,2 \\ 14,6 \\ -2,5 \\ 3,1 \end{pmatrix} = \begin{pmatrix} 31,9 \\ 23,1 \\ 32,9 \\ 31,1 \end{pmatrix}$$

$$\kappa(R) = \|R\| \|R^{-1}\| = \frac{\mu_{\max}}{\mu_{\min}}$$

où $\mu = \sqrt{\text{valeurs propres de } R^t R}$

$$\text{Sp}(R) \approx \{0,01; 0,84; 3,86; 30,29\} \Rightarrow \kappa(R) \approx \frac{30,29}{0,01} \approx 3029 \gg 1$$

$$\frac{\|\delta \vec{f}\|}{\|\vec{f}\|} \leq \frac{\kappa(R)}{1 - \kappa(R) \frac{\|\delta R\|}{\|R\|}} \left[\frac{\|\delta \vec{p}\|}{\|\vec{p}\|} + \frac{\|\delta R\|}{\|R\|} \right]$$

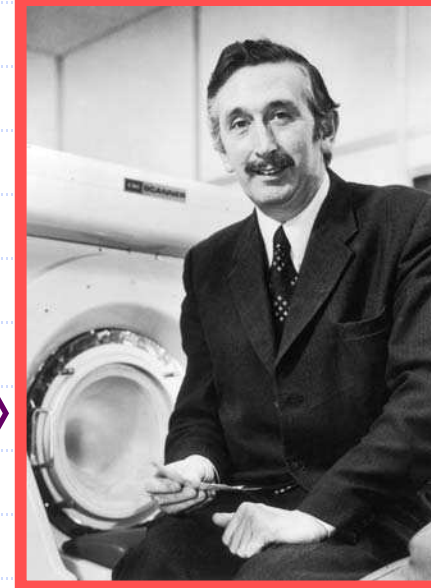
$$\|\delta R\| = 0 \Rightarrow \frac{\|\delta \vec{f}\|}{\|\vec{f}\|} \leq \kappa(R) \frac{\|\delta \vec{p}\|}{\|\vec{p}\|}$$

10 = 3000 0.1/30

SOLUTION



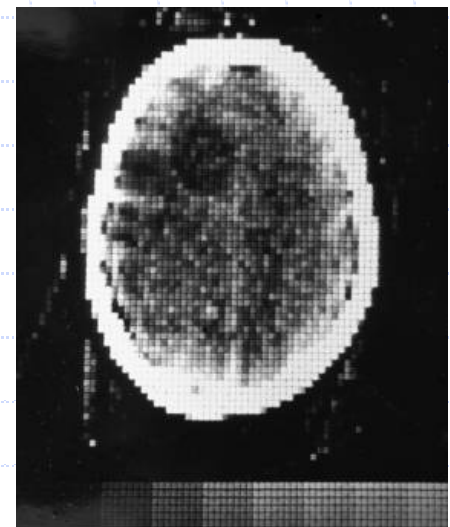
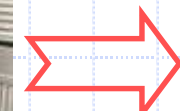
G. Hounsfield 1919-2004



J. Radon
1887-1956

S. Kaczmarz
1895-1940

$$\hat{p}_{\vec{\theta}}(\sigma) = \hat{f}(\sigma \cdot \vec{\theta}) \quad \partial \vec{f}^n = \frac{p_j - p_j^{n-1}}{\|\vec{\omega}_j\|^2} \vec{\omega}_j$$



PROJECTION

MODELISATION

CONDITIONNEMENT

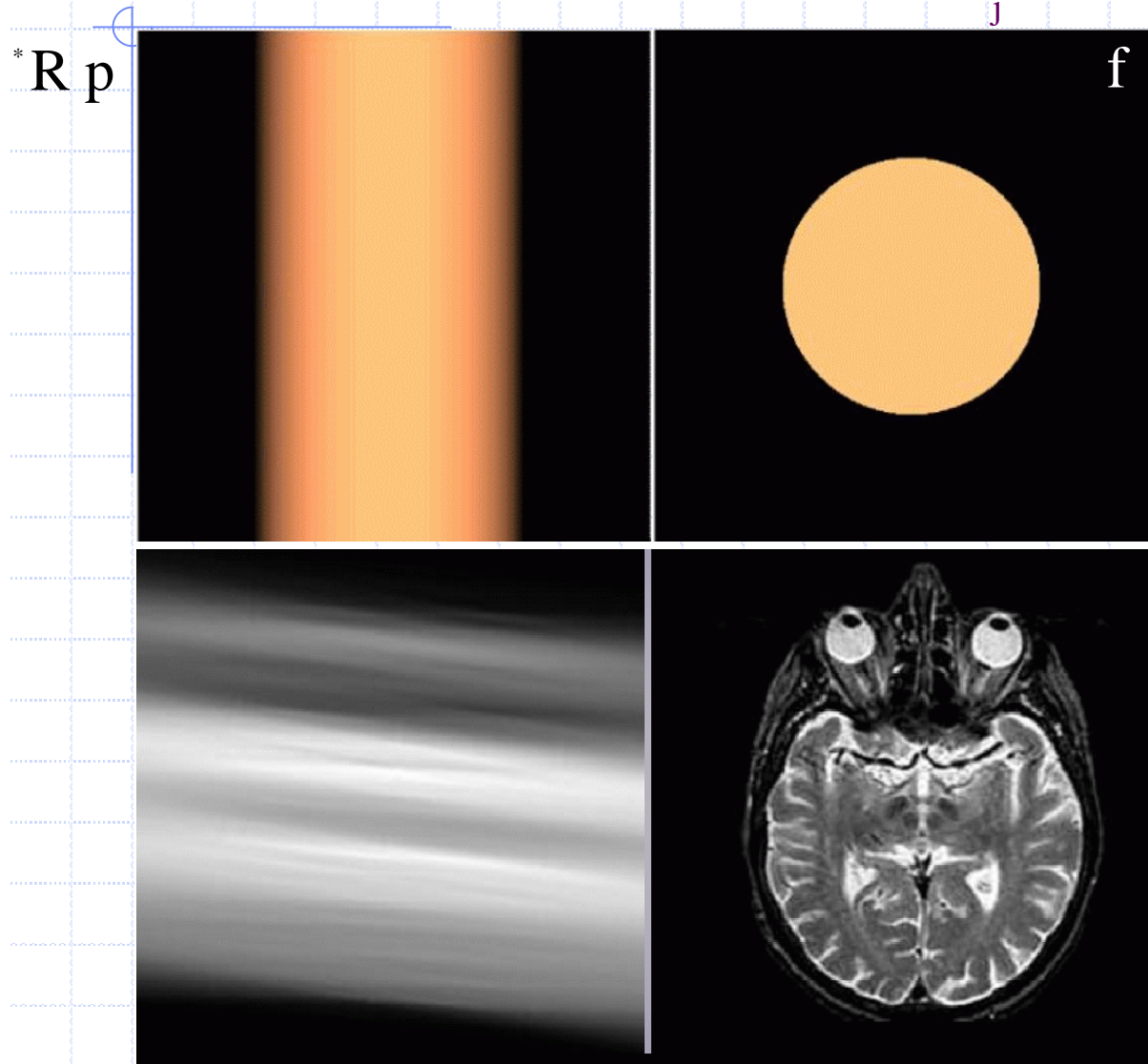
RECONSTRUCTION

REGULARISATION

TEP

PROGRES

$$*R = \text{RETROPRO}/(P \cdot \sum_j r_{i,j}^2)$$



Hypothèse:
 $r_{i,j}=1$ si le pixel j se projette
dans la raie i; $r_{i,j}=0$ sinon.

10	25	10	$\rightarrow 45$
25	40	25	$\rightarrow 90$
10	25	10	$\rightarrow 45$

45 90 45

15	22,5	15	$\leftarrow \frac{45}{2,3} = 7,5$
22,5	30	22,5	$\leftarrow \frac{90}{2,3} = 15$
15	22,5	15	$\leftarrow \frac{45}{2,3} = 7,5$

7.5 15 7.5

$*\vec{R.p}$

RETRORÉPROJECTION FILTRÉE

Hypothèse: $r_{i,j}=1$ si le pixel j se projette dans la raie i ;
 $r_{i,j}=0$ sinon.

$$\text{Filtre} = \begin{pmatrix} -\frac{2}{3} & 2 & -\frac{2}{3} \end{pmatrix}$$

$$5 = 7,5 \cdot 2 - (2/3) \cdot 15$$

$$20 = 2 \cdot 15 - 2 \cdot (2/3) \cdot 7,5$$

$$5 = 7,5 \cdot 2 - (2/3) \cdot 15$$

7.5 15 7.5

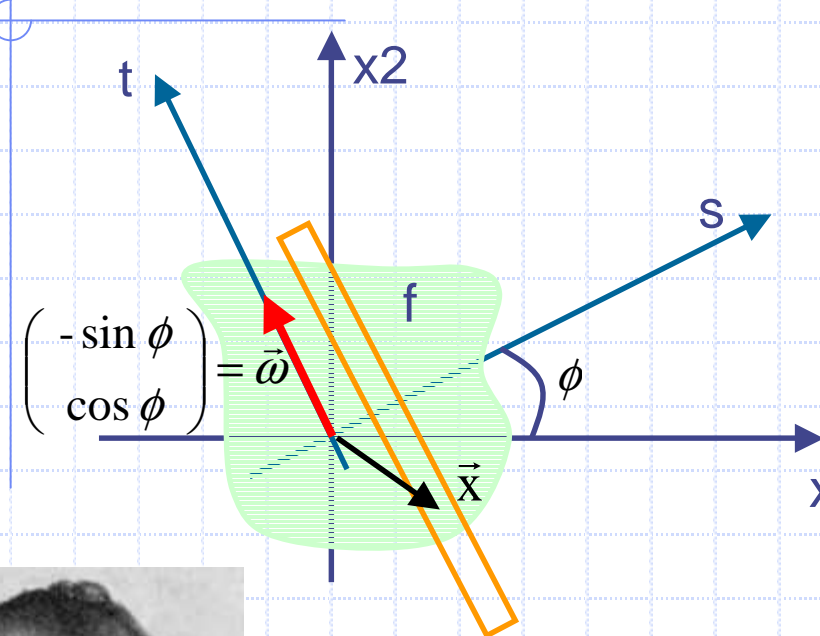
10	25	10
25	40	25
10	25	10

5	5	5
20	20	20
5	5	5



5 20 5

THEOREME DE RADON



J. Radon

1887-1956

$$p_{\vec{\omega}}(s) = \int_t f(s\vec{\omega}^\perp + t\vec{\omega}) dt$$

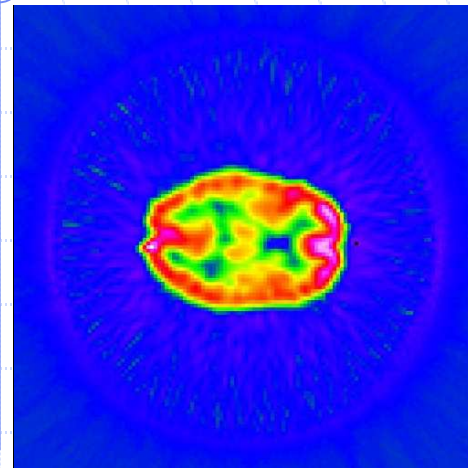
$$\hat{p}_{\vec{\omega}}(\sigma) = \int_s p_{\vec{\omega}}(s) e^{-i.s.\sigma} ds$$

$$\hat{p}_{\vec{\omega}}(\sigma) = \int_s \int_t f(s\vec{\omega}^\perp + t\vec{\omega}) e^{-i.s.\sigma} dt ds$$

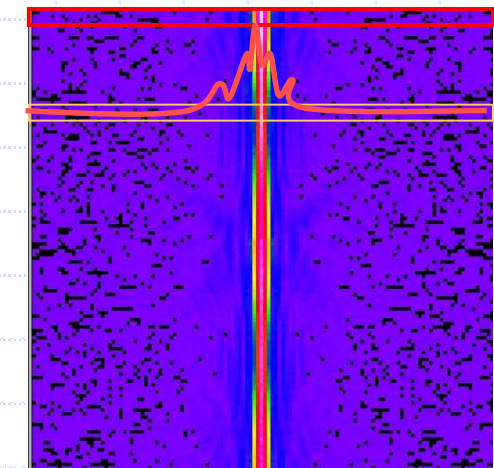
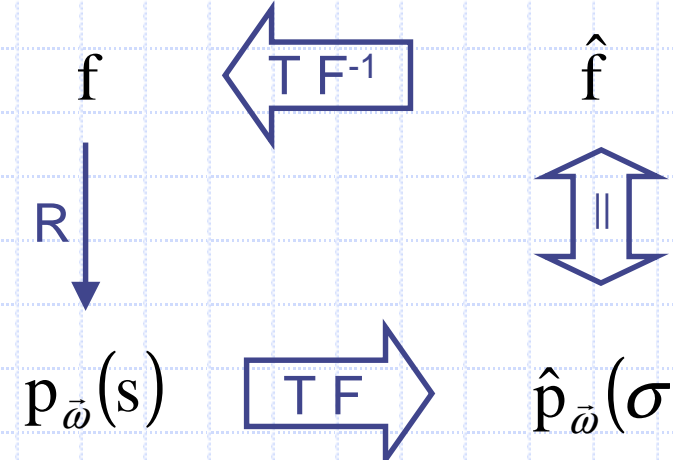
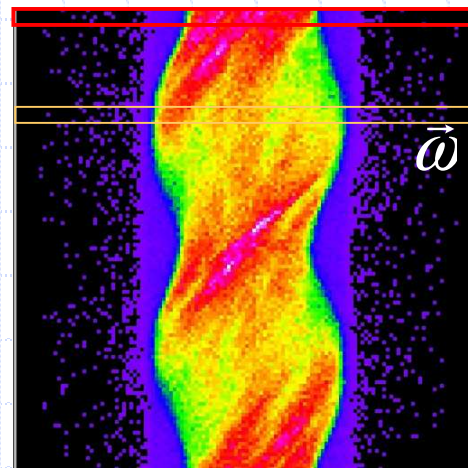
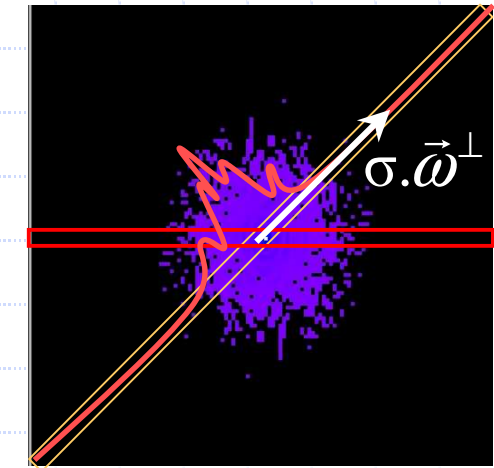
$$\hat{p}_{\vec{\omega}}(\sigma) = \int \int f(\vec{x}) e^{-i.\sigma \vec{x}.\vec{\omega}^\perp} d\vec{x}$$

$$\hat{p}_{\vec{\omega}}(\sigma) = \hat{f}(\sigma \cos \phi, \sigma \sin \phi) = \hat{f}(\sigma \cdot \vec{\omega}^\perp)$$

THEOREME DE RADON



$$\hat{p}_{\vec{\omega}}(\sigma) = \hat{f}(\sigma \cdot \vec{\omega}^\perp)$$



RETROPROJECTION FILTREE

$$f(\vec{x}) = \iint \hat{f}(\vec{\xi}) e^{i\vec{x} \cdot \vec{\xi}} d\vec{\xi}$$

$$f(\vec{x}) = \int_{\phi=0}^{\pi} \int_{\sigma=-\infty}^{\sigma=+\infty} \hat{f}(\sigma \vec{\omega}^\perp) e^{i\sigma \vec{\omega}^\perp \cdot \vec{x}} |\sigma| d\sigma d\phi$$

$$f(\vec{x}) = \int_{\phi=0}^{\pi} \left[\int_{\sigma=-\infty}^{\sigma=+\infty} \hat{p}_{\vec{\omega}}(\sigma) |\sigma| e^{i\sigma \vec{\omega}^\perp \cdot \vec{x}} d\sigma \right] d\phi$$

$$\underbrace{\text{TF}_s^{-1}[\hat{p}_{\vec{\omega}} \cdot \text{abs}](\vec{\omega}^\perp \cdot \vec{x})}_{||}$$

$$p_{\vec{\omega}}^f$$

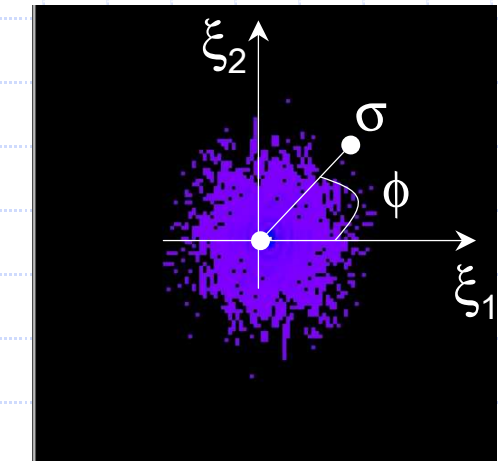
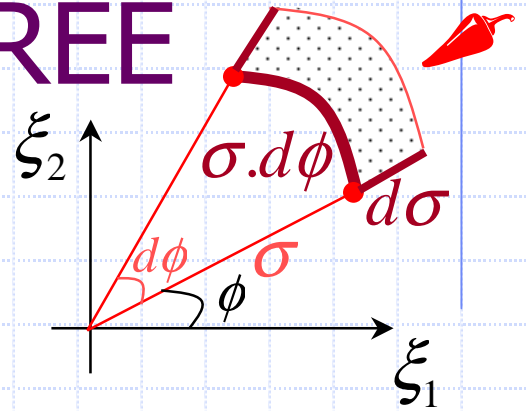
$$f(\vec{x}) = ({}^t R p^f)(\vec{x})$$



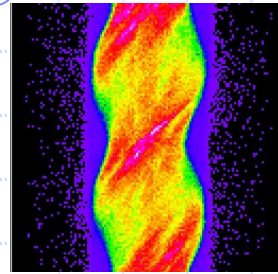
1887-1956

J. Radon

Johann Radon, "Über die Bestimmung von Funktionen durch ihre Integralwerte längs gewisser Mannigfaltigkeiten, Ber. Verh. Sach. Akad. 69 (1917), 262–77."



RETROROJECTION FILTREE



$$f(\vec{x}) = ({}^t R p^f)(\vec{x})$$

Projections sur 180°

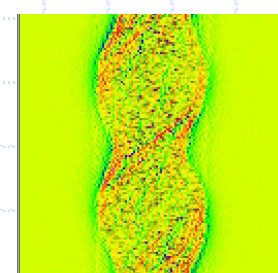
$p_{\vec{\omega}}$

$\hat{p}_{\vec{\omega}}$

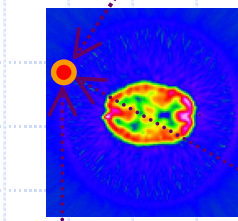
abs

x

$$TF_s^{-1}[\hat{p}_{\vec{\omega}} \cdot \text{abs}] = p_{\vec{\omega}}^f$$



${}^t R$



s_3

s_2

$s_2 = \vec{\omega}^\perp \cdot \vec{x}$

$$TF^{-1}[\text{abs}] = 1/(4d^2) \cdot \begin{cases} 1 & \text{si } i=0 \\ -4/(\pi i)^2 & \text{si } i \text{ impair} \\ 0 & \text{si } i \text{ pair} \end{cases}$$

$d = FWHM / 2$

PROJECTION

MODELISATION

CONDITIONNEMENT

RECONSTRUCTION

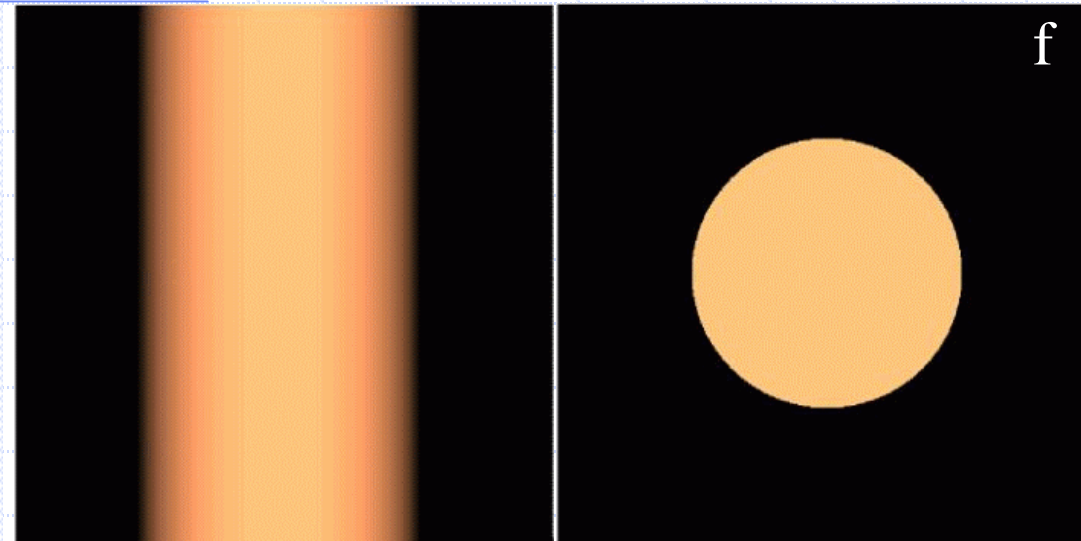
REGULARISATION

TFP

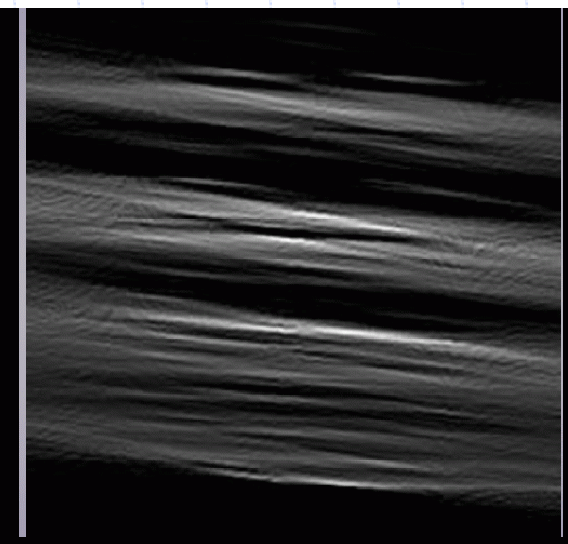
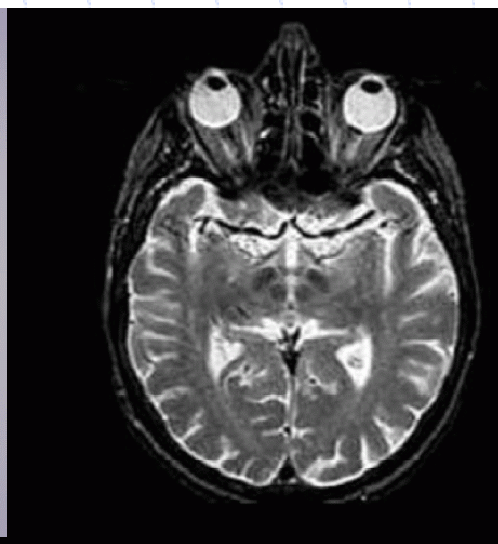
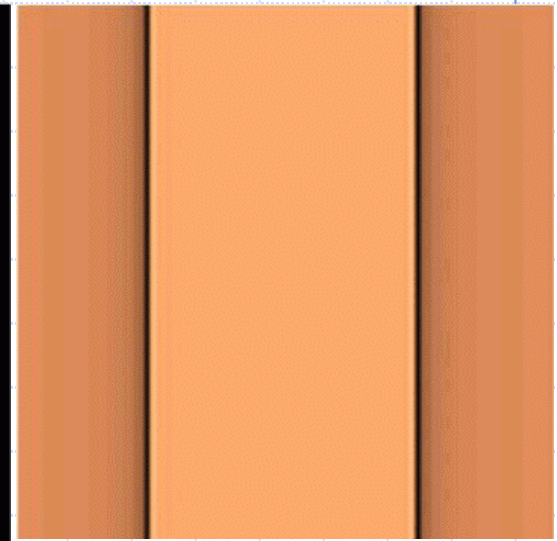
PROGRES

RETROPROJECTION FILTREE

$t^t R p$



f



LIMITES DE LA RPF

- Nécessité de données sur 180° ou sur une hémisphère
 - Problème important en TEP 3D (détecteur cylindrique)
- Prise en compte des atténuations en SPECT et PET :
 - Difficulté majeure d'introduire des facteurs du type $\exp(-\mu \cdot L_{x,s,\phi})$
→ problème pour corriger les artefacts d'atténuation (Compton et PE)
- ◆ En revanche la correction de la réponse est possible
- ◆ Nécessité d'un filtre passe-bas supplémentaire
 - Ajustement de la fréquence de coupure en fonction du bruit dans les données
 - Dosimétrie en TDM où $f_{max} = 1/LMH$ est élevée

TECHNIQUE DE RECONSTRUCTION ALGEBRIQUE

Hypothèse: $r_{i,j} = 1$ si le pixel j se projette dans la raie i ; $r_{i,j} = 0$ sinon.

$$P \cdot R(\text{erreur})$$

0	0	0
0	0	0
0	0	0

$$45 - 0 = 15 + 15 + 15$$

$$90 - 0 = 30 + 30 + 30$$

$$45 - 0$$

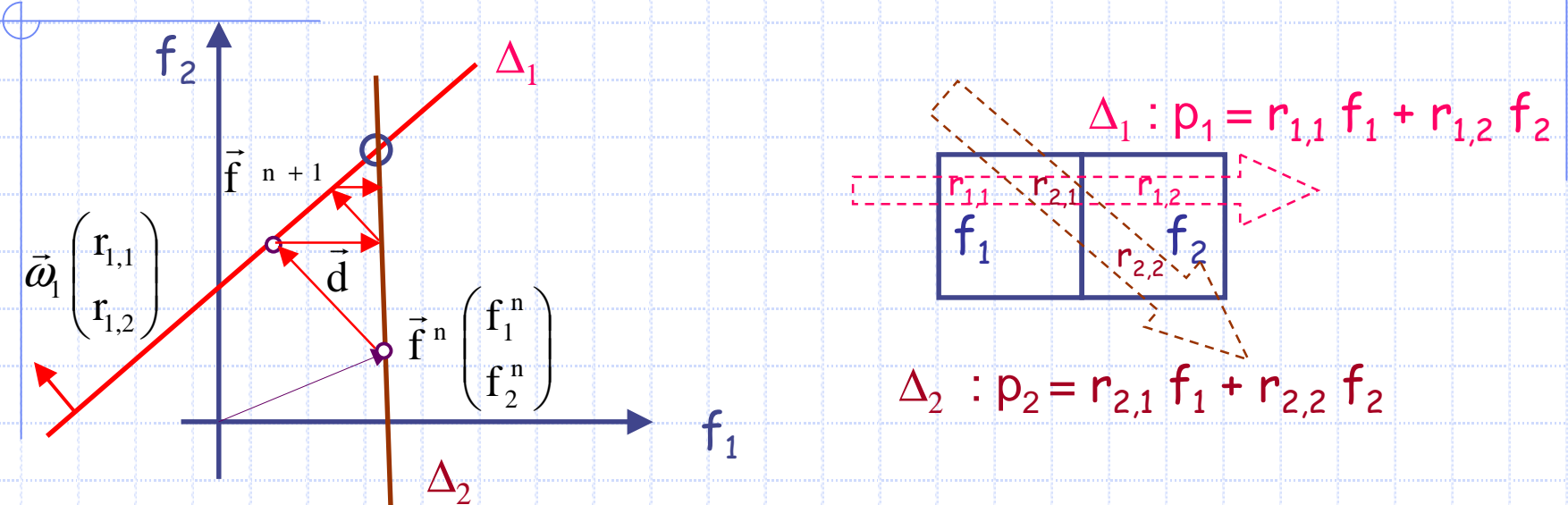
15	15	15
30	30	30
15	15	15

45 90 45

10	25	10
25	40	25
10	25	10

45 90 45
- 60 60 60
-15 30 -15

TECHNIQUE DE RECONSTRUCTION ALGEBRIQUE

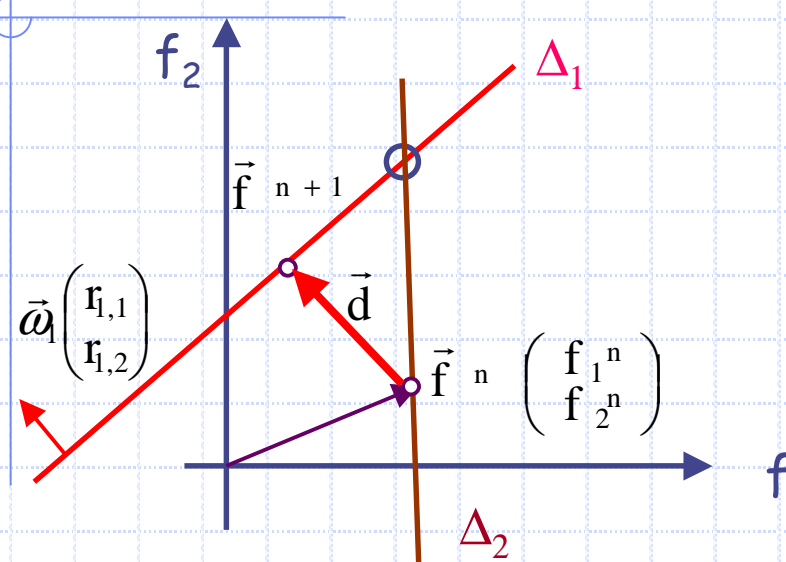


S. Kaczmarz
1895-1940

$$d = \frac{p_1 - \vec{f}^n \cdot \vec{\omega}_1}{\|\vec{\omega}_1\|} = \frac{p_1 - p_1^n}{\|\vec{\omega}_1\|}$$

$p_1^n = r_{1,1} f_1^n + r_{1,2} f_2^n$, projection qui serait mesurée si f^n était la solution

TECHNIQUE DE RECONSTRUCTION ALGEBRIQUE



$\Delta_1 : p_1 = r_{1,1} f_1 + r_{1,2} f_2$

$\Delta_2 : p_2 = r_{2,1} f_1 + r_{2,2} f_2$

$$\vec{f}^{n+1} = \vec{f}^n + d \frac{\vec{\omega}_1}{\|\vec{\omega}_1\|} = \vec{f}^n + \frac{p_1 - p_1^n}{\|\vec{\omega}_1\|^2} \vec{\omega}_1$$

$$f_1^{n+1} = f_1^n + (p_1 - [r_{1,1} f_1^n + r_{1,2} f_2^n]) \frac{r_{1,1}}{r_{1,1}^2 + r_{1,2}^2}$$



S. Kaczmarz
1895-1940

$$\vec{f}^{n+1} = \vec{f}^n + P^* R (p_1 - p_1^n)$$

Kaczmarz S. Angenäherte Auflösung von Systemen linearer Gleichungen. Bull Int Acad Pol Sci Lett A 1937;35:355-7.

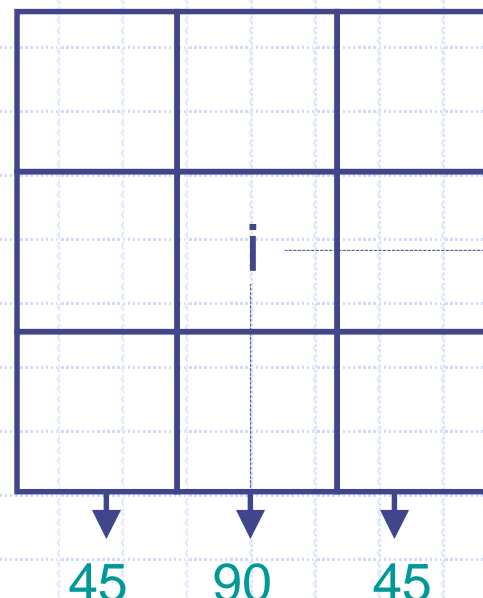
MLEM et OSEM

Hypothèse:

6 projections

$r_{i,j} = 1$ si j se projette en i

$r_{i,j} = 0$ sinon



$$f_i^{n+1} - f_i^n \cdot \frac{1}{\sum_{l'=1}^P r_{l',i}}$$

$$\sum_{l=1}^P r_{l,i} \frac{p_l}{\sum_{s=1}^N r_{l,s} f_s^n}$$

Nombre de raies
passant par i

$$\sum_{Raies \supset i} \frac{p_{mesurée}}{p_{calculée}}$$

$$f_i^{n+1} = f_i^n \cdot \frac{1}{2} \left(\frac{p_{mesurée}^H}{p_{calculée}^H} + \frac{p_{mesurée}^V}{p_{calculée}^V} \right)$$

PROJECTION

MODELISATION

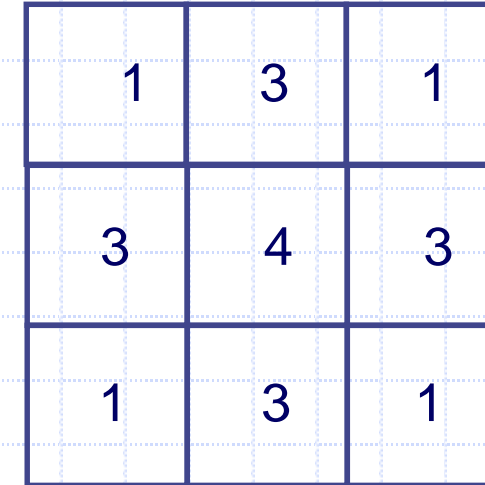
CONDITIONNEMENT

RECONSTRUCTION

MLEM

Hypothèse:

$r_{i,j}=1$ si le pixel j
se projette dans
la raie i;
 $r_{i,j}=0$ sinon.

Itération 1:
initialisation

Projections

mesurées

→45

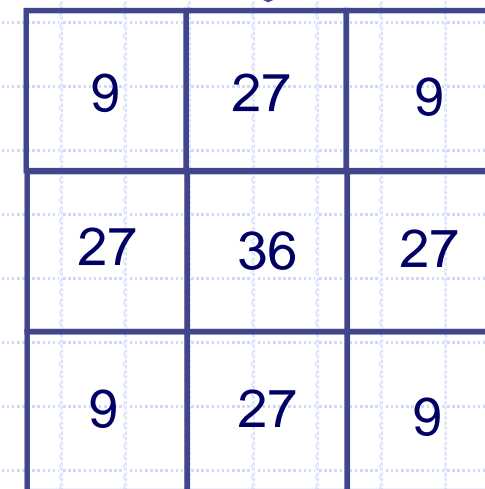
Projections

estimées 1

5

←9

Itération 2



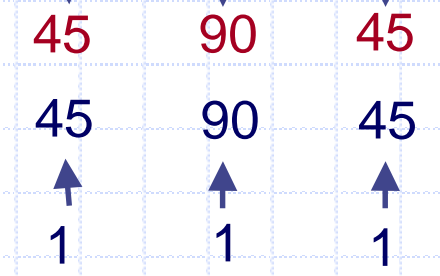
$$f_{i=1}^{\text{iter2}} = 1 \cdot \frac{1}{2} \left(\frac{45}{5} + \frac{45}{5} \right) = 9$$

$$f_{i=2}^{\text{iter2}} = 3 \cdot \frac{1}{2} \left(\frac{45}{5} + \frac{90}{10} \right) = 27$$

$$f_{i=5}^{\text{iter2}} = 4 \cdot \frac{1}{2} \left(\frac{90}{10} + \frac{90}{10} \right) = 36$$

Projections
mesuréesProjections
estimées 2Rapports = 1:
Convergence atteinte

$$f_i^{n+1} = f_i^n \cdot \frac{1}{2} \left(\frac{p_{\text{mesurée}}^H}{p_{\text{calculée}}^H} + \frac{p_{\text{mesurée}}^V}{p_{\text{calculée}}^V} \right)$$





MLEM (Maximum likelihood Expectation Maximization)

Bayes : $P(\vec{f} / \vec{p}) = P(\vec{p}/\vec{f}).P(\vec{f})/P(\vec{p}) = P(\vec{p}/\vec{f}).P(\vec{f})$

$$\tilde{\vec{f}} = \arg \min_{\vec{f}} [-\log P(\vec{p}/\vec{f}) - \log P(\vec{f})]$$

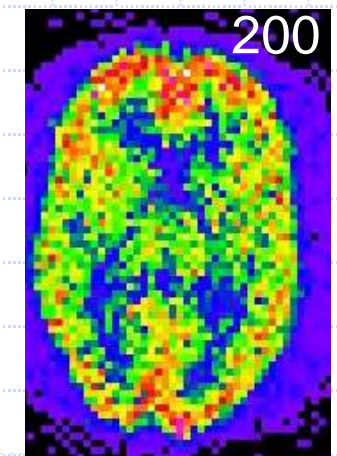
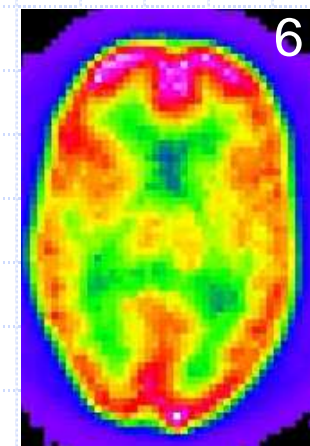
régularisation

Vraisemblance = adéquation aux données

$$\log \prod_i \frac{e^{-\tilde{p}_i} \tilde{p}_i^{p_i}}{p_i!} \quad \text{où} \quad \tilde{p}_i = \sum_s r_{i,s} \cdot f_s$$

$$\downarrow$$

$$f_i^{n+1} = f_i^n \cdot \frac{1}{\sum_{l=1}^P r_{l,i}} \sum_{l=1}^P r_{l,i} \frac{p_l}{\sum_{s=1}^N r_{l,s} f_s^n} = f_i^n \cdot R^* \left[\frac{p_1}{p_1^n} \right]$$





OSEM (Ordered Subsets Expectation Maximization)

Bayes : $P(\vec{f} / \vec{p}) = P(\vec{p}/\vec{f}).P(\vec{f})/P(\vec{p}) = P(\vec{p}/\vec{f}).P(\vec{f})$

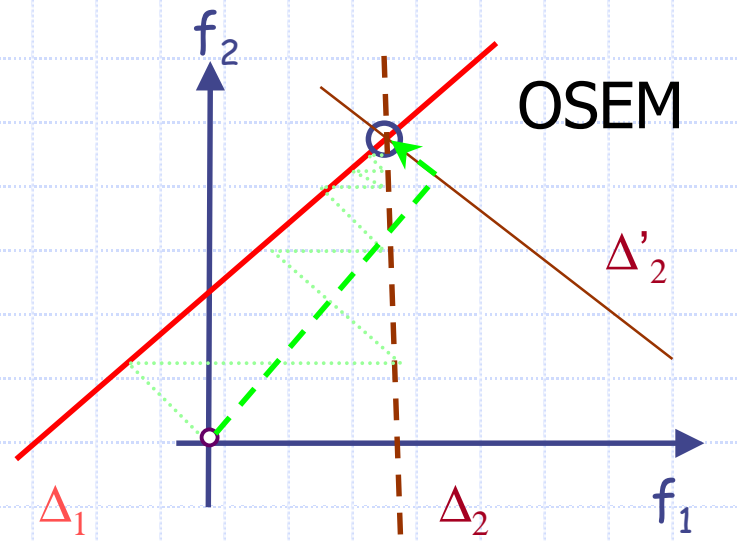
$$\tilde{\vec{f}} = \arg \min_{\vec{f}} [-\log P(\vec{p}/\vec{f}) - \log P(\vec{f})]$$

régularisation

Vraisemblance = adéquation aux données

$$\log \prod_i \frac{e^{-\tilde{p}_i} \tilde{p}_i^{p_i}}{p_i!} \quad \text{où} \quad \tilde{p}_i = \sum_s r_{i,s} \cdot f_s$$

$$f_i^{n+1} = f_i^n \cdot \frac{1}{\sum_{l=1}^P r_{l,i}} \sum_{l=1}^P r_{l,i} \frac{p_l}{\sum_{s=1}^N r_{s,i} f_s^n} = f_i^n \cdot R^* \left[\frac{p_1}{p_1^n} \right]$$



Dempster A et al. Maximum likelihood from incomplete data via the EM algorithm. J R Stat Soc 1977;39:1-38.

Hudson H et al. Accelerated image reconstruction using ordered subsets of projection data. IEEE Trans Med Imaging 1994;13:601-9.



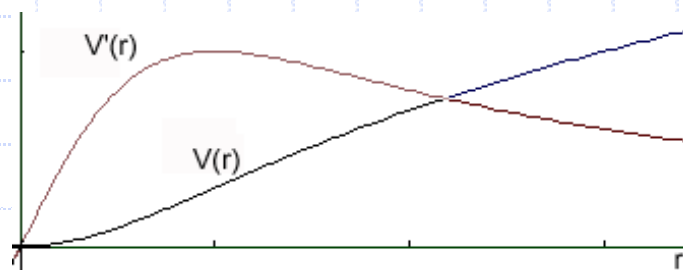
REGULARISATION MAP-EM-OSI

Bayes : $P(\vec{f} / \vec{p}) = P(\vec{p}/\vec{f}).P(\vec{f})/P(\vec{p}) = P(\vec{p}/\vec{f}).P(\vec{f})$

$$\tilde{\vec{f}} = \arg \min_{\vec{f}} [-\log P(\vec{p}/\vec{f}) - \log P(\vec{f})]$$

Adéquation aux données

$$\log \prod_i \frac{e^{-\tilde{p}_i} \tilde{p}_i^{p_i}}{p_i!}$$



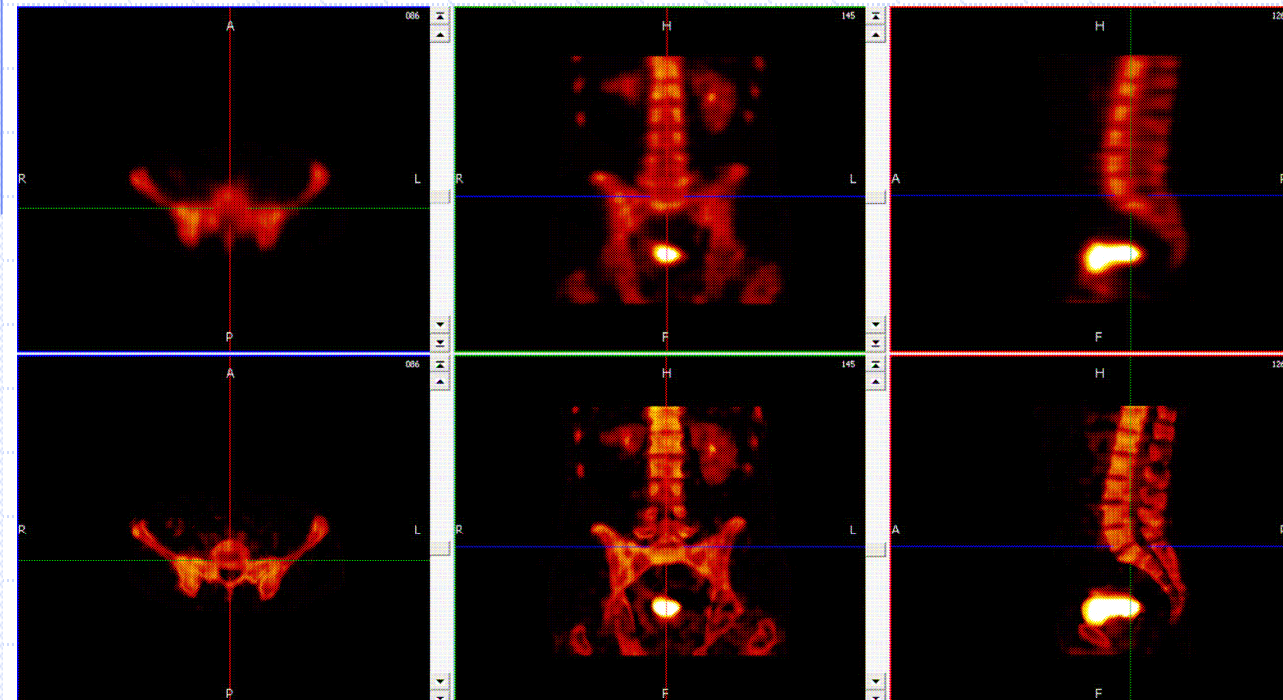
Gibbs : $P(\vec{f}) = \frac{1}{K} e^{-\beta \cdot \sum_{i,j} w_{i,j} \cdot V(f_i - f_j)}$

$$f_i^{n+1} = f_i^n \cdot \frac{1}{\sum_{l=1}^P r_{l,i} + \beta \cdot \partial U} \cdot \sum_{l=1}^P r_{l,i} \frac{p_l}{\sum_{s=1}^N r_{l,s} f_s^n}$$

$$\partial U = \sum_{f_k \in \text{voisin}(f_i)} w_{i,k} \cdot \frac{\partial V}{\partial r} (f_i - f_k)$$

ALGORITHME DU GRADIENT

$$\tilde{\vec{f}} = \arg \min_{\vec{f}} \left[\sum_j \frac{(p_j - [R\vec{f}]_j)^2}{\sigma_{p_j}^2} \right] = \arg \min_{\vec{f}} \|\vec{p} - R\vec{f}\|^2$$



xSPECT-Bone (Siemens)

$n \in \{ \text{air, gras, mou, os médullaire et cortical} \}$

$$\forall n, I_n = z_n(TDM). I \\ p_n = \text{PRO}(I_n) \\ p = \sum_n c_n p_n$$

$$\text{GC}(p_{\text{mesurées}}, p) \rightarrow c_n > 0$$

$$p = \sum_n c_n p_n \\ I = \text{RETROPRO}(p)$$

ALGORITHME DU GRADIENT



$$\tilde{\vec{f}} = \arg \min_{\vec{f}} \left[\sum_j \frac{(p_j - [R\vec{f}]_j)^2}{\sigma_{p_j}^2} \right] = \arg \min_{\vec{f}} \|\vec{p} - R\vec{f}\|^2$$

$$\vec{d}_0 = \vec{r}_0 = {}^t R \vec{p}$$

$$\omega_n = \frac{\|\vec{r}_n\|^2}{\langle \vec{d}_n | {}^t R.R. \vec{d}_n \rangle}$$

$$\vec{r}_{n+1} = \vec{r}_n - \omega_n \cdot {}^t R.R. \vec{d}_n$$

$$\beta_n = \frac{\|\vec{r}_{n+1}\|^2}{\|\vec{r}_n\|^2}$$

$$\vec{d}_{n+1} = \vec{r}_{n+1} + \frac{\|\vec{r}_{n+1}\|^2}{\|\vec{r}_n\|^2} \cdot \vec{d}_n$$

$$\vec{f}_{n+1} = \vec{f}_n + \omega_n \cdot \vec{d}_n$$

$$G_n = \begin{pmatrix} 1 & -\frac{\sqrt{\beta_0}}{\omega_0} & 0 & 0 \\ -\frac{\sqrt{\beta_0}}{\omega_0} & \frac{1+\beta_0}{\omega_0} & \ddots & 0 \\ 0 & \ddots & \ddots & -\frac{\sqrt{\beta_{n-1}}}{\omega_{n-1}} \\ 0 & 0 & -\frac{\sqrt{\beta_{n-1}}}{\omega_{n-1}} & \frac{1+\beta_{n-1}}{\omega_{n-1}} \end{pmatrix}$$

$$\kappa(G_n) \xrightarrow{n \rightarrow \infty} \kappa(R)$$

www.inma.ucl.ac.be/~vdooren/Krylov.pdf

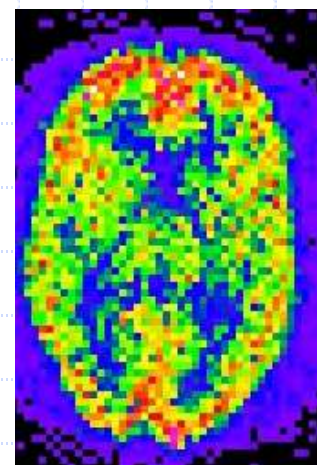
Analyse numérique matricielle appliquée à l'art de l'ingénieur. P. Lascaux & R. Théodor (II), p. 516, 1987. MASSON
 D. Mariano-Goulart, P. Maréchal, S. Gratton, et al. Comput. Med. Imaging & Graphics 2007; 31 : 502-509

REGULARISATION FRECT

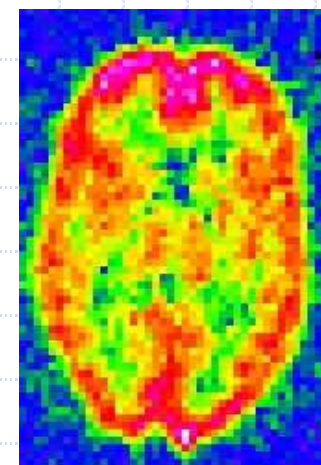


Tikhonov: $\vec{f} = \arg \min_{\vec{f}} [\|\vec{p} - R\vec{f}\|^2 + \alpha \cdot \|\vec{f}\|^2]$

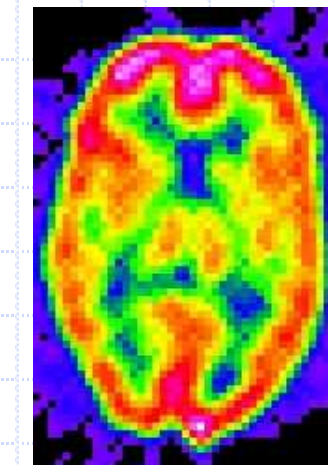
FRECT : $\vec{f} = \arg \min_{\vec{f}} [\|\text{PB}(\vec{p}) - R\vec{f}\|^2 + \|\text{PH}(\vec{f})\|^2]$



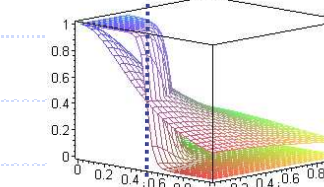
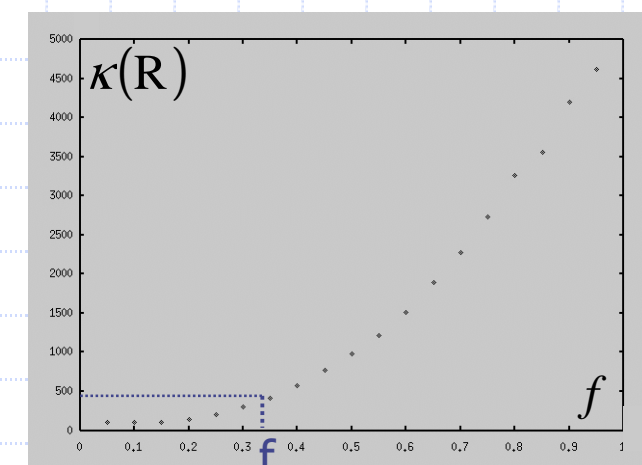
MLEM 200



GC 16



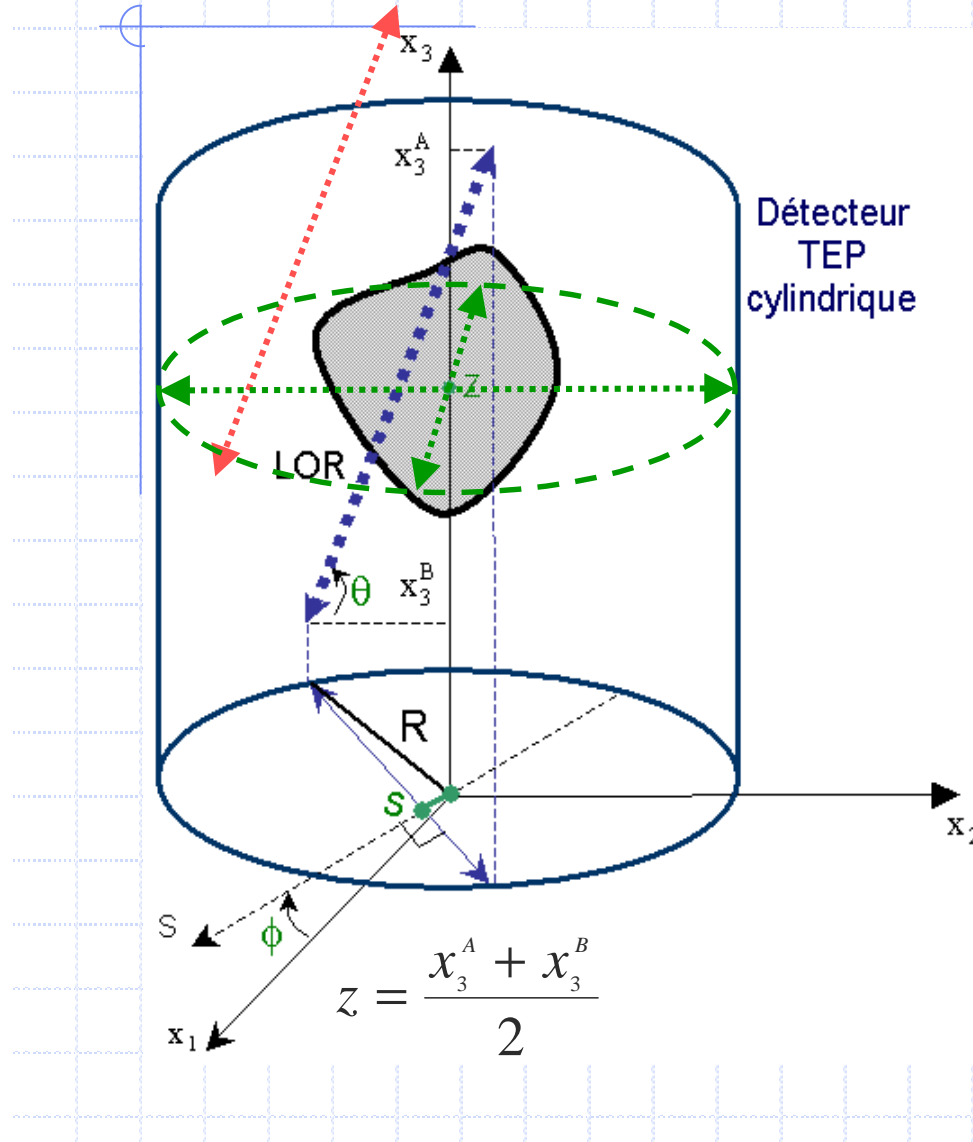
FRECT 34 (CV)



AVANTAGES DES ALGO ALGEBRIQUES

- Ne nécessitent pas de projections complètes (sur 180° ou une hémisphère)
 - essentiel en PET 3D
- Permettent une modélisation dans l'opérateur R des artefacts d'atténuation
 - Important en SPECT-CT, essentiel et PET-CT
- Permettent une régularisation plus sophistiquée (non linéaire) et plus ou moins facilement paramétrable

SPECIFICITES EN TEP 3D



Projections 3D redondantes

- $f(x,y,z)$ connaissant $p(s,\phi,z,\delta)$
- 1 DDL de plus ($\delta = \tan\theta$) dans p
- Les données **transverses** sont complètes et suffisent

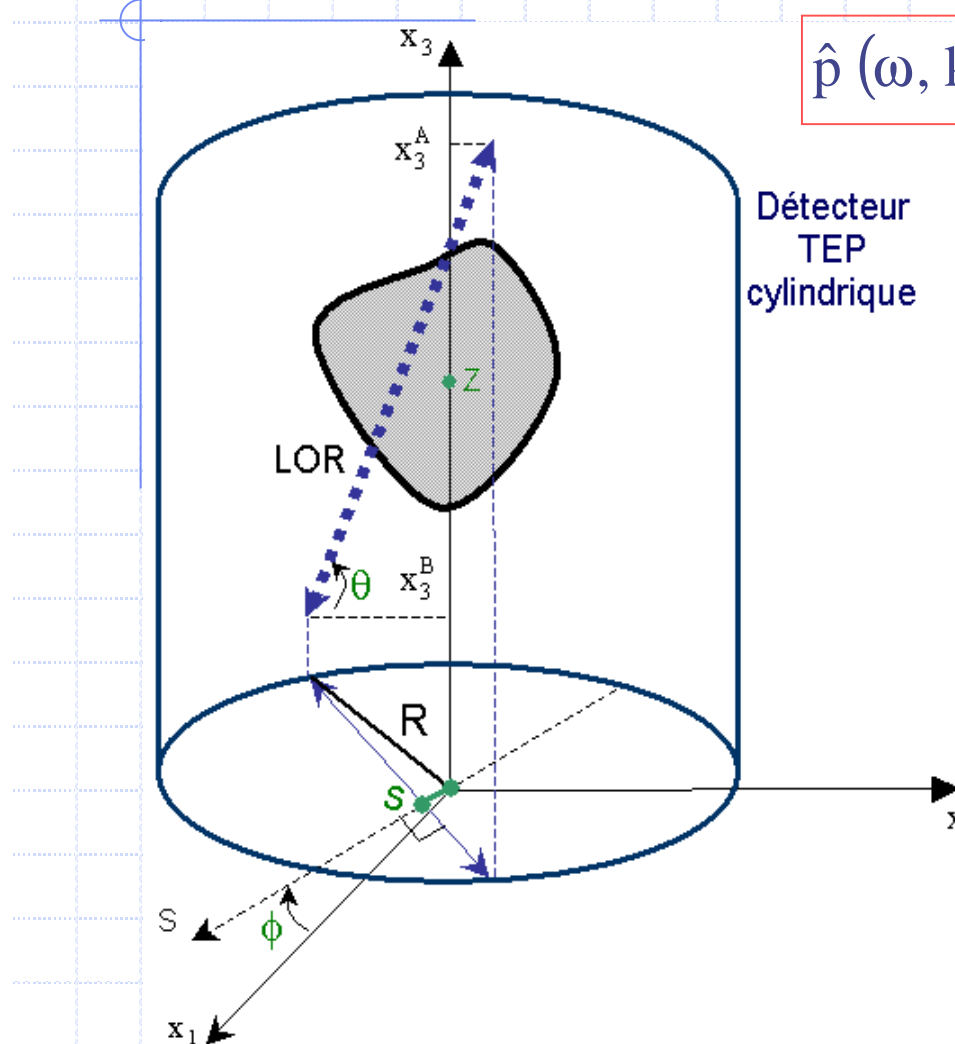
et incomplètes

- certaines projections obliques ne sont pas enregistrées si $\theta \neq 0$
- RPF 3 D impossible directement

Il faut donc :

- soit opter pour OSEM3D
- soit estimer les projections manquantes pour reconstruire en RPF 2D ou 3D

PROJECTIONS MANQUANTES

$$\hat{p}(\omega, k, \zeta, \delta) = e^{-ik \arctan(\alpha)} \hat{p}(\omega\sqrt{1+\alpha^2}, k, \zeta, 0)$$

DL à l'ordre 1 sur $\alpha = \frac{\delta\zeta}{\omega}$

$$\hat{p}(\omega, k, \zeta, \delta) \approx e^{-ik\alpha} \hat{p}(\omega, k, \zeta, 0)$$

$$\hat{p}(\omega, k, z, \delta) \approx \hat{p}\left(\omega, k, z - k \frac{\delta}{\omega}, 0\right)$$

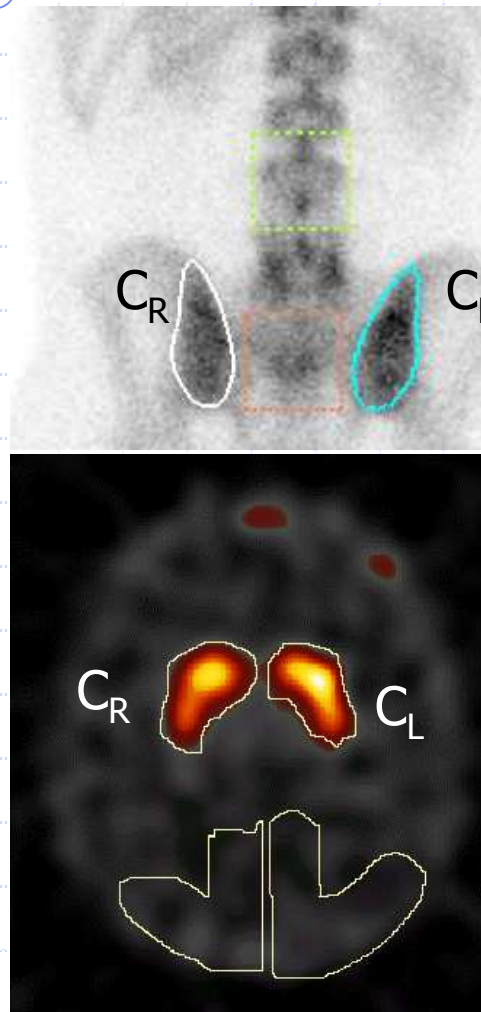
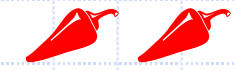
SYNTHESE DE DONNEES 2D à S/B ↑ :

$$\hat{p}(\omega, k, z, 0) \approx \hat{p}\left(\omega, k, z + k \frac{\delta}{\omega}, \delta\right)$$

SYNTHESE DE DONNEES MANQUANTES :

$$\hat{p}(\omega, k, z, \delta) \approx \hat{p}\left(\omega, k, z - k \frac{(\delta - \delta')}{\omega}, \delta'\right)$$

UN PEU DE RECHERCHE...



$$\boxed{C_R = C_L ?}$$

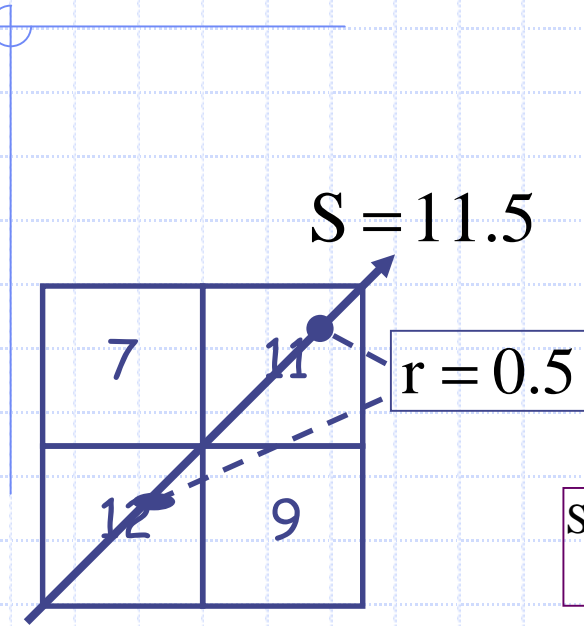
Planaire :

- Bruit de Poisson: $\sigma^2 = C_R$

Tomographie :

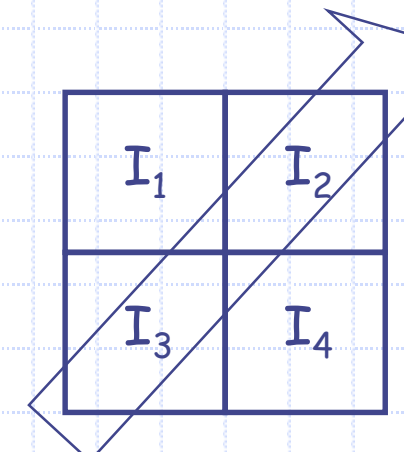
- σ n'est pas connue
- Transfert de variance (Fessler)

MODELES DE PROJECTEURS

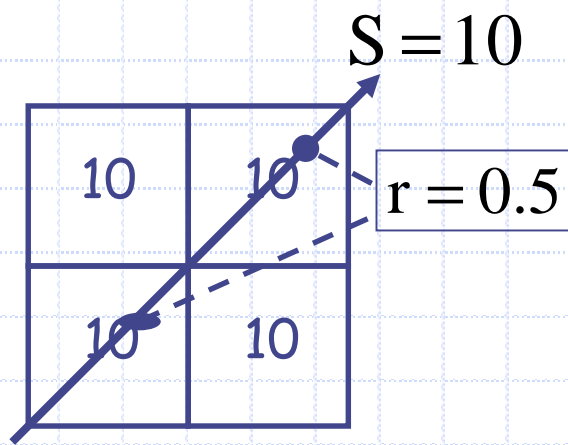
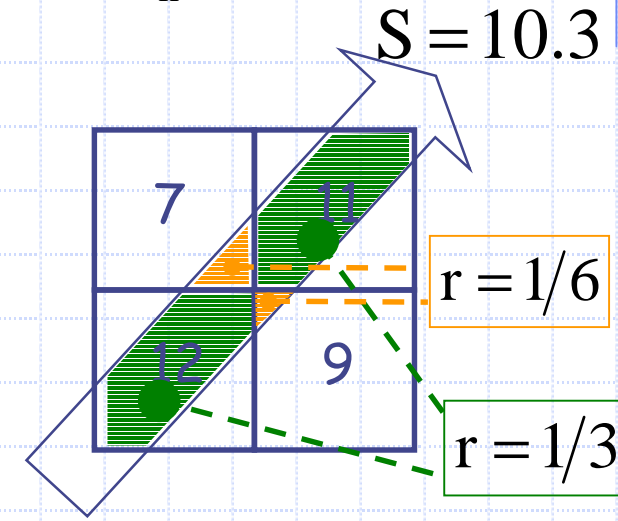


$$\underline{S} = [S] = [\underline{S}, \bar{S}] = [10.3; 11.5]$$

$$\delta = 11.5 - 10.3 = 1.2$$

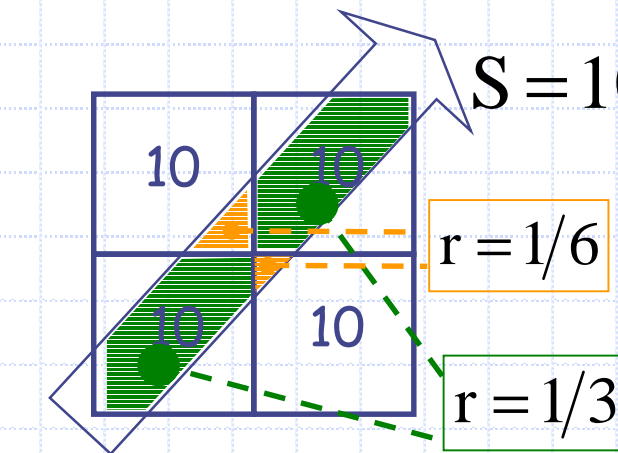


$$S_k = \sum_n r_{k,n} I_n$$

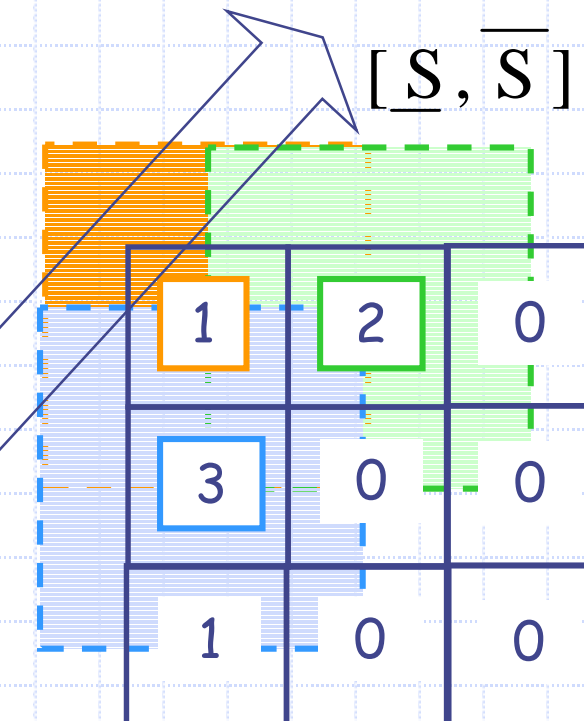


$$\underline{S} = [S] = [\underline{S}, \bar{S}] = [10; 10]$$

$$\delta = 0$$



PROJECTION PAR INTERVALLE


 \underline{S}, \bar{S}
 \underline{S}, \bar{S}


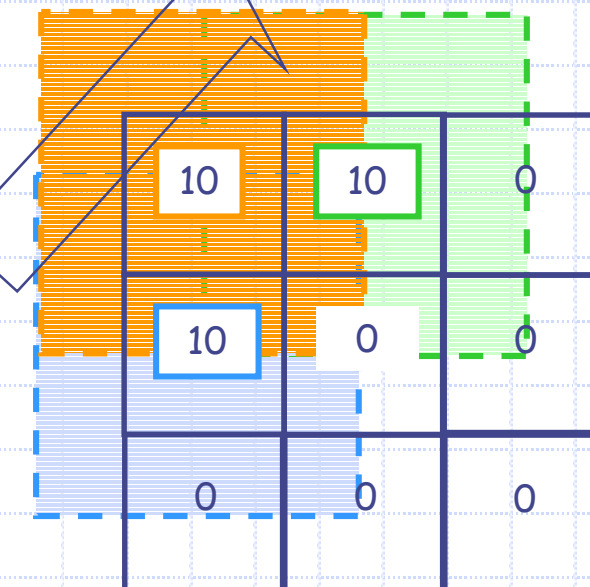
$$\underline{S} = (1.4 + 2.2 + 3.2) / 8 = 1.8$$

$$\bar{S} = (3.4 + 2.3 + 1.1) / 8 = 2.4$$

$$[S] = [1.8; 2.4]$$

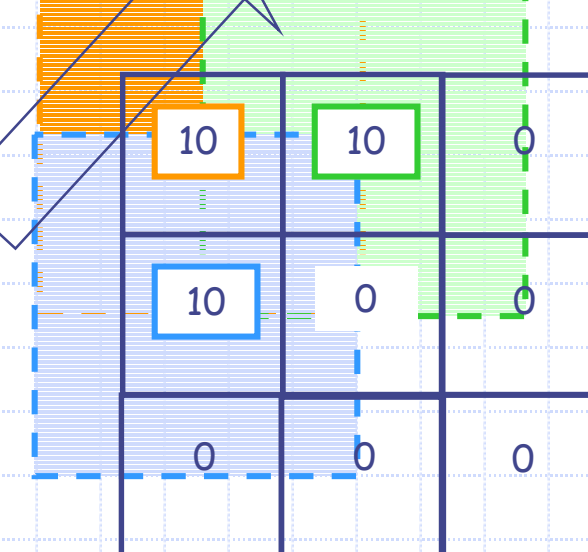
PROJECTION PAR INTERVALLE

$$\underline{S} = (10.4 + 10.2 + 10.2) / 8 = 80 / 8 = 10$$



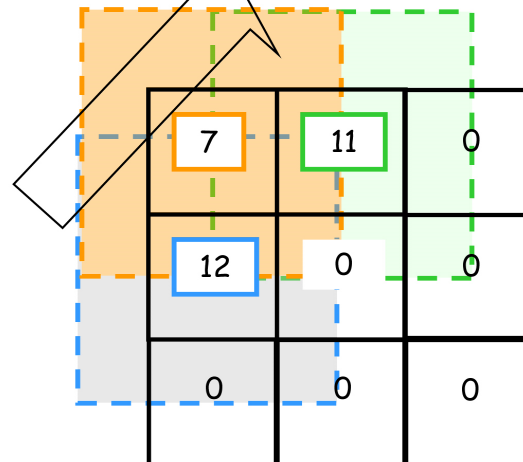
$$\bar{S} = (10.4 + 10.3 + 10.1) / 8 = 80 / 8 = 10$$

$$\begin{aligned} [S] &= [10, 10] \\ \delta &= 0 \end{aligned}$$

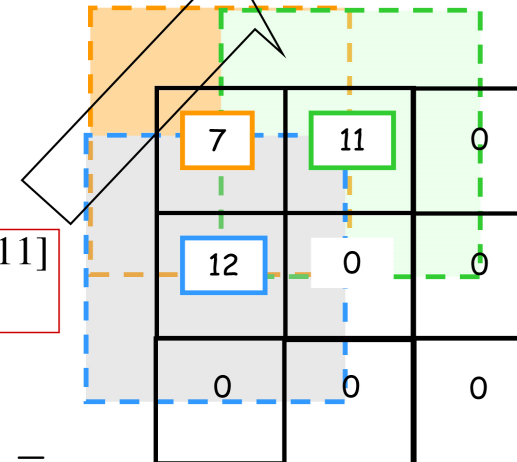


PROJECTION PAR INTERVALLE & BRUIT

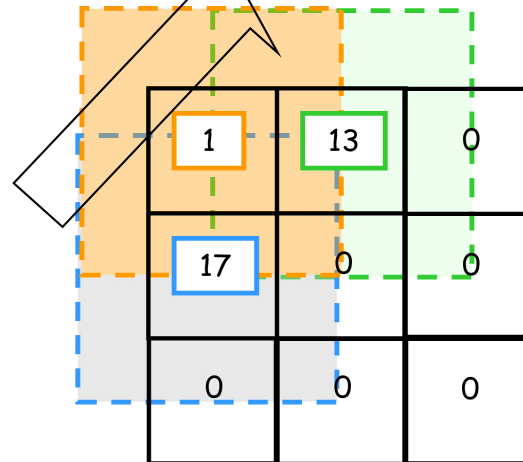
$$\underline{S} = (7.4 + 11.2 + 12.2)/8 = 74/8 = 9.25$$



$$\bar{S} = (12.4 + 11.3 + 7.1)/8 = 88/8 = 11$$



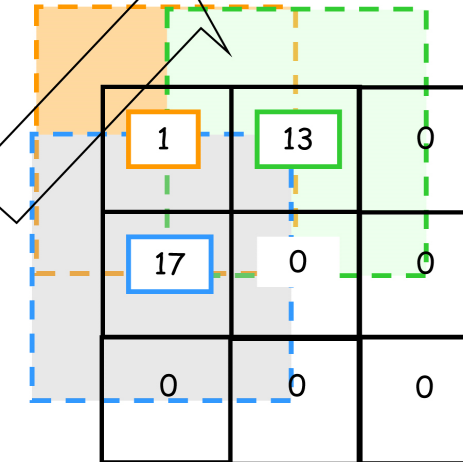
$$\underline{S} = (1.4 + 13.2 + 17.2)/8 = 64/8 = 8$$



$$[S] = [9.25; 11]$$

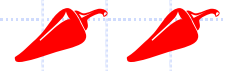
$$\delta = 1.75$$

$$\bar{S} = (17.4 + 13.3 + 1.1)/8 = 108/8 = 13.5$$



$$[S] = [8; 13.5]$$

$$\delta = 5.5$$



ART INTERVALLISTE (NIBART)

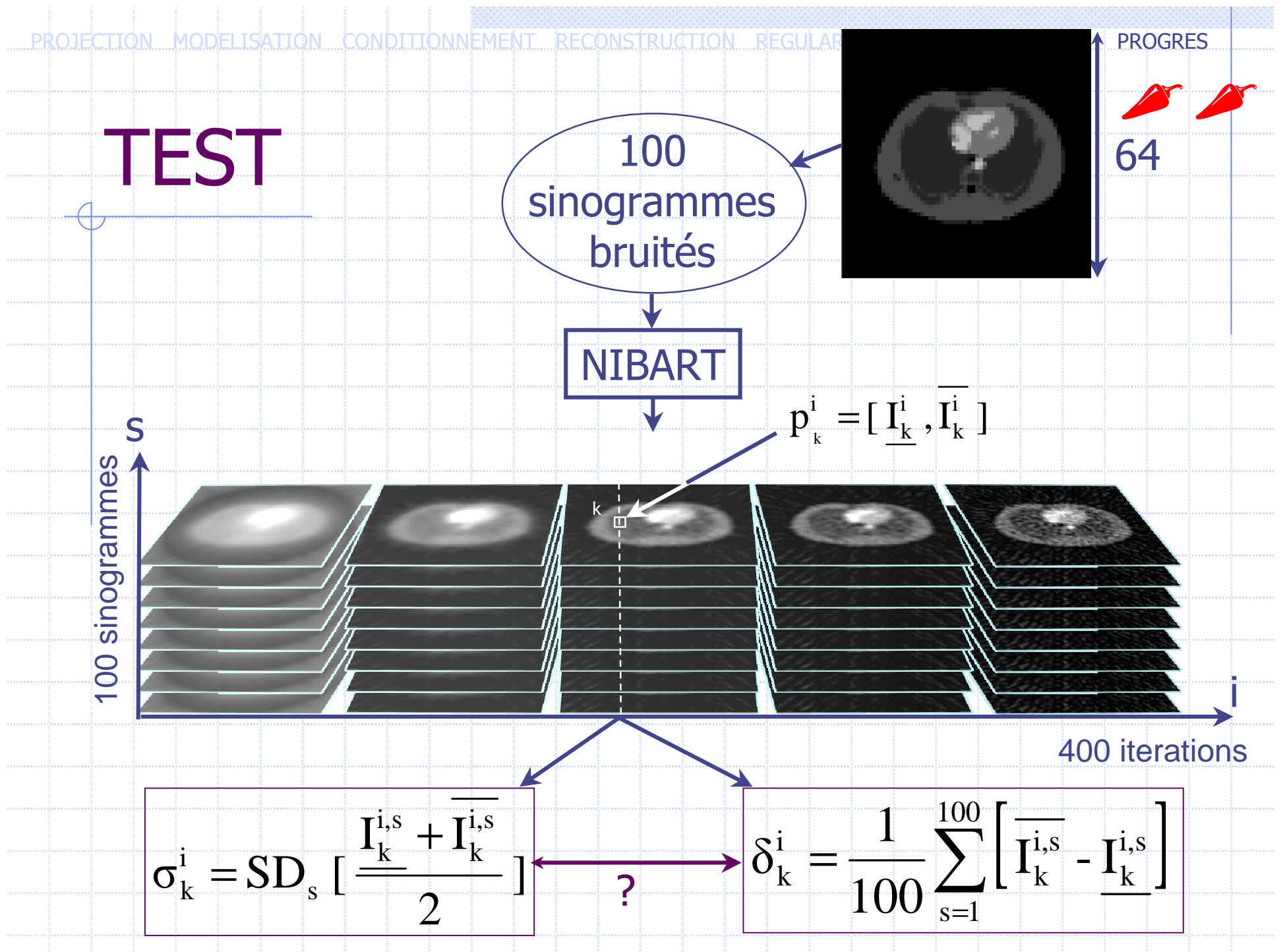
- Modélisation: logique floue (capacités)
- Pro/Rétroprojection: Intégrale de Choquet
- SIRT avec des opérateurs de Minkowski:

$$[I^{n+1}] = [I^n] \oplus B [S - P([I^n])]$$

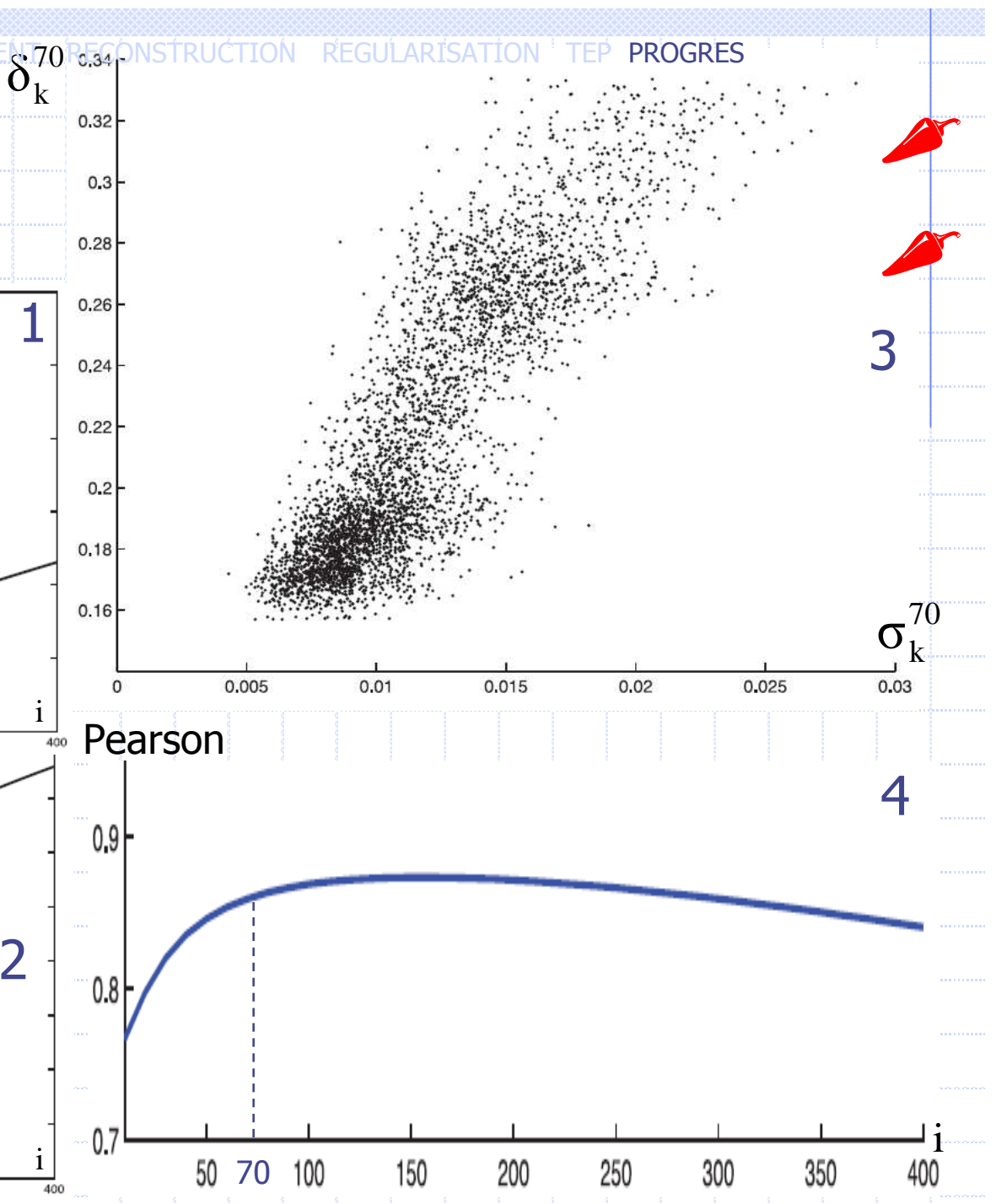
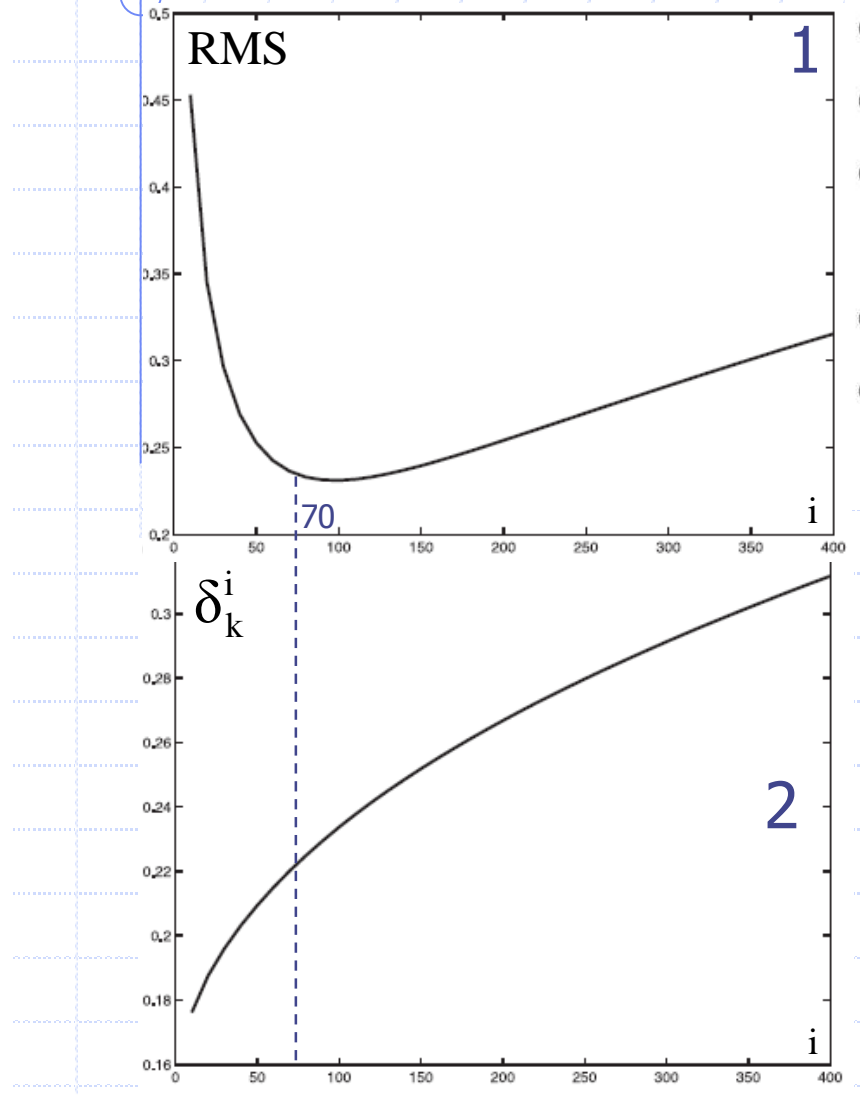
$$[\underline{a}, \bar{a}] \oplus [\underline{b}, \bar{b}] = [\underline{a} + \bar{b}, \bar{a} + \underline{b}] \text{ or } [\bar{a} + \underline{b}, \underline{a} + \bar{b}]$$

$$[\underline{a}, \bar{a}] - [\underline{b}, \bar{b}] = [\underline{a} - \bar{b}, \bar{a} - \underline{b}]$$

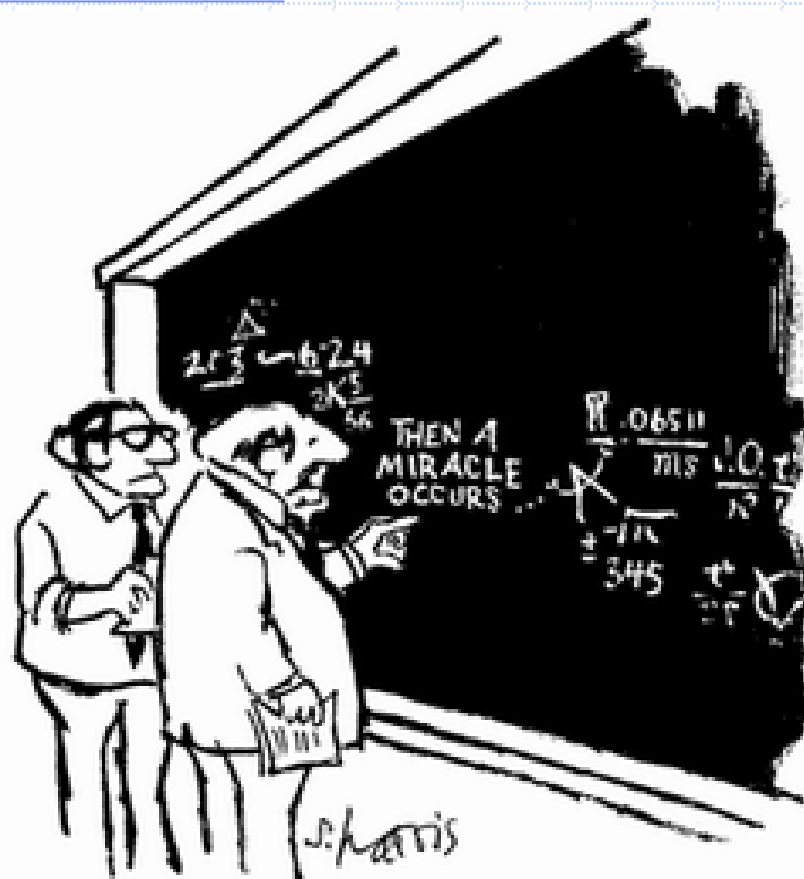
- NIBEM en cours de publication...



Results



Merci de votre attention...



"I think you should be more explicit here in step two."

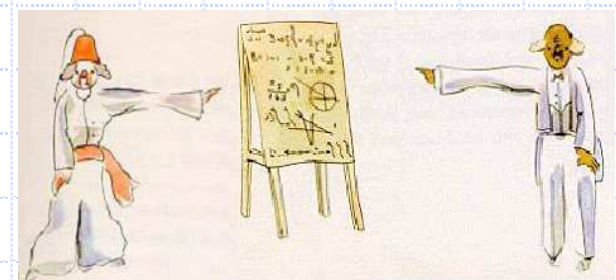
The Mathematics of
Computerized Tomography.

F. Natterer. 2001. SIAM.

Reconstruction tomographique en
imagerie médicale. D. Mariano-Goulart
Encyclopédie Médico-chirurgicale,
35-105-A-10, 2015.

Reconstruction tomographique
Cours rédigé pour étudiants en 2^e
année de médecine

http://scinti.edu.umontpellier.fr/files/2016/06/Reconstruction_tomographique.pdf



denis.mariano-goulart@umontpellier.fr